

طراحی گرم کن بستر سرامیکی دما بالا برای تونل باد ابرصوتی

محمد تقی بشارتی هجراندوست^۱، محمدعلی جزو وزیری^{۲*} و علیرضا ریبعی^۳

دانشگاه جامع امام حسین (ع)

(تاریخ دریافت: ۱۳۹۸/۱۰/۳۰؛ تاریخ پذیرش: ۱۳۹۹/۰۴/۲۵)

چکیده

یکی از گلوبهای طراحی گرم کن آن می‌باشد. هدف از انجام این پژوهش، طراحی گرم کن بستر سرامیکی در دمای ۱۸۰۰ کلوین برای جلوگیری از میعان هوا در تونل باد ابرصوتی می‌باشد. برای طراحی اولیه گرم کن، از طریق یک کد مهندسی غیر لزج روابط حاکم بر جریان سیال و انتقال حرارت حل می‌شود. این کد با دریافت خواص فیزیکی ثابت و ترمودینامیکی سیال و جامد، ابعاد هندسی بستر و توزیع دمای دیواره، مقدار دمای هوای خروجی گذرا را تخمین می‌زند. به همین دلیل، طراحی نهایی گرم کن از طریق حل عددی معادلات ناویراستوکس، انرژی و مدل توربولانسی SST-K-ω با حلگر نوع فشار پایه کاپلده با دقت مرتبه دوم انجام گردید. نتایج عددی به دست آمده از این روش انطباق خوبی با نتایج تجربی دارد. از طریق تحلیل پارامتری، طرح‌های مختلفی برای یافتن یک بستر گرم کن مناسب مورد ارزیابی قرار گرفت. پارامترهای موردنظری شامل ارتفاع، قطر و تخلخل بستر و قطر سوراخ‌ها می‌باشد. نتایج نشان می‌دهد که قطر سوراخ، قطر بستر و سپس ارتفاع و تخلخل مهم‌ترین پارامترها در طراحی بستر گرم کن بوده و به ترتیب تأثیر بیشتری بر مقدار دمای هوای خروجی و مدت زمان اجرا آزمون دارند. به طوری که افزایش یا کاهش ۱۴ درصدی هریک به ترتیب باعث افزایش ۶۱، ۵۱، ۲۸، ۲۸ و ۸ درصدی مدت زمان اجرا و ۶، ۳، ۲ و ۱.۸٪ درصدی دمای هوای خروجی می‌شود. همچنین قطر سوراخ و تخلخل بستر گرم کن، دو پارامترهای مهم در تعیین ابعاد بستر گرم کن می‌باشند. درنهایت با استفاده از این نتایج طرح اولیه به یک طرح نهایی با ابعاد قطر بستر ۰/۴۵ متر، ارتفاع ۱/۷ متر، قطر سوراخ ۳ میلی‌متر و تخلخل ۰/۲۵۱۲ اصلاح شد.

واژه‌های کلیدی: گرم کن بستر سرامیکی، تونل باد ابرصوتی، گرم کن‌های دما بالا، چگالش هوا در تونل بادهای ابرصوتی

Design High Temperature Cored Brick Heater for Hypersonic Wind Tunnel

M. Besharati¹ M. Jozvaziri^{2*} A. Rabiee³

Imam Hossein University

(Received: 20/Janury/2020 ; Accepted: 15/July/2020)

ABSTRACT

One of the throats in designing hypersonic wind tunnel is the design of heater. The purpose of this study is designing a heater with ceramic cored, in 1800K temperature for preventing air condensation in wind tunnel. In initial part of design the fluid flow and heat transfer equation have been solved through an inviscid engineering code. This code estimates the temperature of transient outlet flow with static physical and thermodynamic properties of fluid and solid, geometrical dimensions of bed and wall distribution temperature. The final part of design has been solved with computational methods and using of Navir Stocks and energy equation, with K-ω SST turbulence model. The solver is 2nd order and pressure base. The numerical results are in acceptable agreement with experimental. By parameter analysis, various design for obtaining a suitable heater have been evaluated. The evaluated parameters are height, diameter, porosity of the bed and the diameter of the hole and diameter of the bed. The results show that the diameter of the hole, the diameter of the bed, the height and porosity the most important parameters in the design of the heating bed and have a great impact on the temperature of the exhaust air and the duration the test respectively. 14% increase or decrease of each parameter increase 61, 51, 28, and 8% of execution time and 6, 3, 2 and 1.8 % of the output air temperature respectively. The hole diameter and porosity of the heater bed are two important parameters in determining the dimension of the heater bed. Finally with using of the results the final design has been modified with bed diameter of 0.45 meter, height of 1.7 meter, hole diameter of 3 millimeter and porosity 0.2512.

Keywords: Cored Ceramics Brick Heater, Hypersonic Wind Tunnel, High Temperature Heaters, Air Condensation in Hypersonic Wind Tunnel

۱- کارشناس ارشد: Mohammad.t.besharati@chmail.ir

۲- مری (نویسنده پاسخگو): Mohamad.ali.vaziri@chmail.ir

۳- مری: Alireza.rabiee.chmail.ir

۱- مقدمه

طراحی گردید [۲]. تاکنون گزارشی در مورد طراحی گرمکن بستر سرامیکی هسته آجری در داخل کشور منتشر نشده است؛ اما در مورد طراحی گرمکن بستر ریگی [۳] و گرمکن سیال گازی [۴] برای تونل باد ابرصوتی به ترتیب آقایان آشتیانی و شاکری پژوهش‌هایی انجام و نمونه‌های آزمایشی از کار آن‌ها ساخته شده است [۵]. کنس وی اسمیس و همکارش [۶] از شرکت مهندسی فلوداین مطالعاتی برای توسعه گرمکن دما بالا با استفاده از ماتریس‌های هسته آجری از جنس زیرکونیا پایدار شده با ایتریا برای سازمان ملی هوانوردی و فضایی مرکز تحقیقات آمیس موفیت فیلد، کالیفرنیا انجام دادند. اروین ای. لیزبرگ [۷] از مرکز تحقیق لیوز کلیویلند اهایو مطالعه‌ای بر روی گرمکن هسته سوراخ‌دار تونل باد ابرصوتی برای سازمان ملی هوانوردی و فضایی واشنگتن دی سی انجام داده است. ال. ال. فرباچر [۸] از آزمایشگاه‌های هوافضا رایت پاترسون ای اف بی (AFB) اوهایو خواص مطلوب سرامیک زیرکونیا برای کارایی بالا گرمکن ذخیره‌سازی را موردمطالعه قرار داد. سی. آر. تنسی و همکارانش [۹] از شرکت آرو بر روی تحقیق و توسعه آجرهای ماتریس زیرکونیا پایدار و ثبت‌شده با ایتریا در واحد آزمون آزمایشی بی‌تی یو (PTU) در مرکز توسعه مهندسی آرنولد (AEDC) برای کاربرد در گرمکن هسته آجری پرداختند. اف.سی.ویلر و همکارانش [۱۰] از انجمن آکرکس آنالیز تنش حرارتی برای هسته‌های آجری سرامیکی مورداستفاده در گرمکن‌های تونل باد ابرصوتی برای آزمایشگاه مواد نیروی هوایی انجام دادند. د. ای. هاگفورد و همکارش [۱۱] از شرکت مهندسی فلوداین در گزارش نهایی تحقیقی بر روی تمام قسمت‌های گرمکن‌های ذخیره‌ساز دمابالا برای تونل باد ارائه دادند. ای. جی. جیوتوجیز [۱۲] از دانشگاه صنعتی آینده‌هونون مدل عددی برای ارزیابی رفتار گرمکن احیاکننده در دمای بالا ارائه کرد. تیموتی آلن آمل [۱۳] از دانشگاه مونتنا بر روی شبیه‌سازی حرارتی بستر ثابت هسته آجری سوراخ‌دار دما بالا مطالعاتی انجام داد. همچنین جیوفری کارلس هریک [۱۴] نیز در رشته مکانیک از همان دانشگاه کار مشابهی با عنوان تجزیه و تحلیل پاسخ حرارتی پیش‌گرمکننده آزمایشی بر روی گرمکن هسته آجری انجام داده است. در ادامه گری آلن آپاشو [۱۵] نیز در همین رشته و از همین دانشگاه کار مهم‌تری با عنوان یک روش شبیه‌سازی برای طراحی حرارتی هیدرولیکی گرمکن

طراحی آبودینامیکی وسایل پرنده ابرصوتی، نیازمند آزمودن تجربی در تونل بادهای ابرصوتی می‌باشد. مهم‌ترین مشکل این تونل‌ها در استفاده از سیال کاری هواء، ایجاد پدیده چگالش هوا در محفظه آزمون بوده و برای حل آن از روش‌های ایجاد گرمایش در مسیر جریان هوا استفاده می‌گردد. این روش‌ها خود به سه دسته، گرمایش حاصل از شوک حرارتی، گرمایش حاصل از احتراق و گرمایش توسط انواع گرمکن تقسیم‌بندی و در انواع تونل‌ها به کار می‌روند. روش گرمایش حاصل از احتراق بهدلیل تفاوت خواص سیال گاز داغ تولیدی با هوا و روش‌های گرمایش حاصل از شوک بهدلیل محدود بودن مدت زمان انجام آزمون و نیاز به ابزارهای اندازه‌گیری سریع و دقیق، مناسب نیاز فعلی نبوده، بنابراین از تونل‌های دارای گرمکن بهمنظور انجام آزمون در مدت زمان طولانی استفاده می‌گردد. مناسب‌ترین حالت، استفاده از تونل‌های پیوسته دارای گرمکن قوس الکتریکی است؛ اما این گرمکن‌ها دارای هزینه زیاد راه‌اندازی و نگهداری بوده و نیاز به پست بر قاعده اختصاصی دارند؛ به همین دلیل می‌توان از تونل‌های آنتالپی بالای فشار-خلاء که از گرمکن‌های مخزنی برای دست‌یابی به جریان هوای پایا در مدت زمان طولانی آزمون استفاده می‌کنند بهره برد. این نوع گرمکن‌ها خود به دو نوع بستر ریگی و بستر سرامیکی تقسیم می‌شوند. با توجه به مشکلات گرمکن بستر ریگی مانند افزودن گردوغبار به هوای آزمون، پدیده شناوری ریگ‌ها، ظرفیت جذب پایین حرارتی ریگ‌ها (عدم افزایش بیش از حد دمای گرمکن) و عدم ثبات گرمایشی در طول زمان بالای کارکرد، از گرمکن بستر سرامیکی دارای هسته آجری سوراخ‌دار که چنین مشکلاتی ندارد، استفاده می‌شود [۱].

با توجه به مشکلات و معایب گرمکن‌های بستر ریگی، از این‌رو از سال ۱۹۶۰ مطالعه و طراحی بر روی گرمکن‌های بستر سرامیکی هسته آجری آغاز شد. اولین گرمکن بستر سرامیکی هسته آجری در سال ۱۹۶۴ برای تونل سه منظوره و سپس با بازطراحی گرمکن‌های آزمایشی مرکز تحقیقاتی امز ناسا در سال ۱۹۷۱ توسط شرکت مهندسی فلوداین که امروزه با نام شرکت سیستم‌های مهندسی آیرو ای اس ای (ASE) در سنت پائول آمریکا شناخته می‌شود،

بازیابی ارائه دادند. این پژوهش شامل چهار بخش توسعه چارچوب برای طراحی بهینه گرمکن هسته آجری، مدل ریاضی برای نمایش گرمکن ذخیره‌سازی، راه حل تحلیلی برای تخمین عملکرد گرمکن برای دوره‌های گرمایش و تخلیه و اعتبارسنجی مدل ریاضی با نتایج تجربی است. هدف از این پژوهش ارائه چارچوب کلی برای طراحی و تحلیل گرمکن ذخیره‌سازی هسته آجری برای استفاده در پروژه‌های آینده در آزمایشگاه تحقیق و توسعه دفاع (DRDL) می‌باشد. در ادامه از نتایج کد عددی و تجربی این مقاله برای اعتبارسنجی روش حل مورد استفاده در این پژوهش استفاده شد [۲۶ و ۲۷].

انگیزه اصلی از انجام این پژوهش طراحی بستر آجر سوراخ‌دار مناسب برای گرمکن تونل باد دانشگاه جامع امام حسین (ع) بجای گرمکن با بستر ریگی می‌باشد و این کار برای اولین بار در داخل کشور صورت می‌گیرد.

۲- طراحی اولیه و مدل‌سازی هندسی

آجر سوراخ‌دار مربوط به واحد ذخیره‌سازی حرارتی باید با ملاحظاتی همچون عملکرد انتقال حرارت، کنترل افت فشار (به جهت شناوری آجر)، مقاومت در برابر تنش‌های حرارتی (به جهت جلوگیری از ایجاد ترک) طراحی شود و تبادل حرارتی با هوای آزمایشی برای ارائه در بخش آزمون با شرایط جریان هوا مطابق با الزامات جریان مانند نرخ جریان، دما، فشار و غیره باشد. برای مرحله پیش‌گرمایش از گاز شهری به دلیل اقتصادی بودن استفاده می‌شود و پس از گرم شدن آجرها، مشعل خاموش شده و مسیر هوا برای اجرای مرحله گرمایش هوا با عبور از روزنہ آجرها باز می‌گردد. آجرهای بستر گرمکن‌ها به دو شکل شش‌ضلعی یا استوانه‌ای ساخته می‌شوند. در هر صورت با توجه به اینکه دونقطه همارتفاع در روی بستر با هم‌دیگر هم‌دمای هستند و اختلاف دمای خیلی جزئی دارند می‌توان کل مقطع بستر و آجرها را با سلول‌های مرز آدیباتیک دایره‌های یا شش‌ضلعی ساده‌سازی نمود و به جای شبیه‌سازی کل بستر و یا یک آجر کامل، به شبیه‌سازی یک سلول با مرز آدیباتیک اکتفا نمود. شکل ۱ نمایی از ساده‌سازی کل بستر گرمکن با یک سلول را نشان می‌دهد.

سرامیکی هسته آجری احیاکننده ارائه داده است. رودنی کارل هرریس [۱۶] تنش حرارتی را در آجر سرامیکی پیش‌گرمند در دانشگاه مونتنا موردمطالعه قرار داد. تی. ای. آمل و همکارش [۱۷] از دانشگاه مونتنا بوزمن به شبیه‌سازی کامپیوتری گرمکن هسته آجری پرداختند. ای. اس. پائول [۱۸] از مرکز توسعه مهندسی آرنولد نوآوری جدیدی از گرمکن هسته آجری از جنس زیرکونیا تثبیت‌شده با ایتریا را برای تونل پیوسته ارائه داد. پیتر اچ. سی. چو و همکارانش [۱۹] از شرکت مهندسی آیرو از سنت پائول آمریکا بر روی فناوری گرمکن ذخیره‌سازی دما بالا برای تونل‌های باد ابرصوتی و تأسیسات آزمون پیشرانه‌ای مطالعاتی انجام دادند. دیوید پی. ساری و همکارانش [۲۰] از شرکت مهندسی آیرو بر روی فناوری گرمکن ذخیره‌ساز تولید هوای تمیز برای تأسیسات آزمون پیشرانه مطالعه انجام دادند. توماس پی. فتروف و همکارش [۲۱] از نیروی هوایی ایالات متحده و گروه میراتک آرنولد ای اف بی تنسی به بررسی فناوری بستر آزمون هوای تمیز آیرو نیرو پیشرانه ابرصوتی آزمون پیش‌رفته نیرو پیشرانه پرداختند. آزمایشگاه تحقیق و توسعه دفاع (DRDL) هند سندی در مورد طراحی و ساخت تأسیسات ابرصوتی فشار خلا با قطر ۱ متر برای محدوده ماخ ۵ تا ۱۲ که از دو گرمکن هسته آجری با گرمایش احتراق گاز مایع استفاده می‌کند منتشر کرد این تأسیسات در شامیرت (بدامافوی)، حیدرآباد [۲۲] برای اهداف هوافضایی آینده ساخته خواهد شد. گوکل. ام و کریشنان [۲۳] از دپارتمان مهندسی مکانیک دانشگاه‌های ولاار و کیمبرتر، تامیل نادو، هند به مقایسه عددی جریان سیال و انتقال حرارت در بستر ریگی با بستر هسته آجری پرداختند. ساینس و همکاران [۲۴] از گروه مهندسی مکانیک، موسسه مهندسی و فناوری سریاس، حیدرآباد، هند با استفاده از نرم‌افزار انسیس آنالیزی بر روی عایق لانه‌زنیوری برای گرمکن هسته آجری انجام دادند. راما کریشنان و همکارانش [۲۵] از موسسه فناوری کیمبرتر، تامیل نادو، هند بر روی بهبود انتقال حرارت توسط ایجاد و القای آشفتگی در جریان هوای عبوری از هسته آجری گرمکن با استفاده از دینامیک سیالات محاسباتی پرداختند. اس. ناقندرایا و همکارانش از آزمایشگاه تحقیق و توسعه دفاع (DRDL) حیدرآباد، تلانگانا، هند چارچوب ریاضی برای طراحی و بهینه‌سازی گرمکن ذخیره‌سازی

$$n = \frac{\pi D^2}{\frac{4}{2 * \frac{\sqrt{3}}{4} s^2}} * \frac{\sqrt{3}}{\sqrt{3}} = \frac{\sqrt{3} \pi D^2}{6 s^2} = \frac{0.90689 D^2}{s^2} \quad (۲)$$

با جایگذاری مقدار معادل s^2 از معادله (۱) در معادله (۲) رابطه تعداد سوراخ با سه پارامتر مهم تخلخل، قطر ماتریس و قطر سوراخ به صورت معادله (۳) زیر بدست می‌آید.

$$n = \frac{\eta D^2}{d^2} \quad (۳)$$

اگر A سطح مقطع آجر باشد ηA مساحت حفره‌ها خواهد بود و می‌توان دبی کل ورودی به بستر را با معادله (۴) در زیر نوشته و از تساوی موجود دوباره معادله (۳) را نتیجه گرفت.

$$m^\square = n \rho v \left(\frac{\pi d^2}{4} \right) = \eta \rho v \left(\frac{\pi D^2}{4} \right) \rightarrow n = \frac{\eta D^2}{d^2} \quad (۴)$$

اگر هوا ورودی به بستر به عنوان گاز ایده‌آل فرض شود. معادله (۵) که معروف به معادله حالت است رابطه بین فشار، دما و چگالی هوا را نشان خواهد داد.

$$P = \rho R T \quad (۵)$$

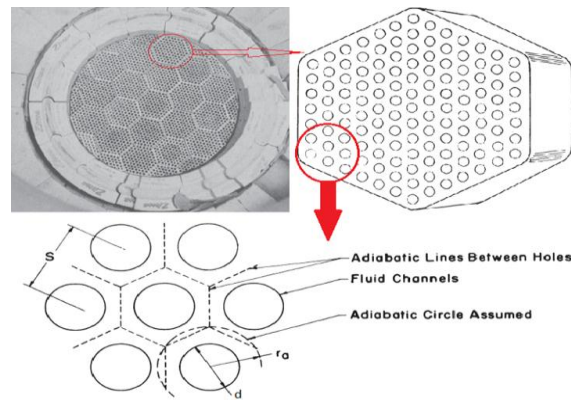
که R ثابت گازها بوده و برای هوا برابر ۲۸۷ می‌باشد. مقدار گرمای ذخیره شده در گرمایش هوا توسط بستر (توان حرارتی جذب شده توسط هوا) از معادله (۶) در زیر بدست می‌آید:

$$q = m^\square C_p (T_2 - T_1) \quad (۶)$$

که T_2 و T_1 دمای اولیه و ثانویه هوا، C_p گرمای ویژه و m^\square دبی جرمی هوا می‌باشد. همچنین مقدار انقال حرارت جابجایی بین سیال و جامد از معادله (۷) بدست می‌آید:

$$q = h A \left(\frac{\theta_2 + \theta_1}{2} - \frac{T_2 + T_1}{2} \right) \quad (۷)$$

که در این رابطه θ_1 و θ_2 دمای اولیه و ثانویه جامد و A مساحت انقال حرارت بوده که از حاصل ضرب محیط خیس



شکل (۱): ساده‌سازی کل بستر گرم کن با یک سلول

با توجه به ویژگی‌های چنین گرم‌کن‌هایی دو متغیر مستقل هندسی اولیه می‌توانند تعیین شوند: (۱) سطح مقطع بستر A و ارتفاع H واحد ذخیره‌سازی حرارتی که به طور مستقیم اندازه واحد ذخیره حرارتی را تعیین و سپس اندازه گرم‌کن را تعیین می‌کند. (۲) پارامترهای هندسی مقطعی از واحد ذخیره‌سازی حرارتی مانند قطر سوراخ d ، فاصله سوراخ‌ها s ، نسبت تخلخل سطح η ، تعداد سوراخ‌ها n که از این میان تنها سه پارامتر مستقل از یکدیگر هستند.

نسبت تخلخل سطح η یک پارامتر هندسی مهم است که تأثیر مستقیم بر ظرفیت جریان هوا (دبی)، ظرفیت ذخیره‌سازی گرما، عملکرد انتقال حرارت و سطح تنش حرارتی دارد. این نسبت به عنوان حجم حفره‌ها به حجم کل جسم تعریف می‌شود و یک رابطه هندسی مستقیم یا معکوس با بیشتر پارامترهای دیگر مانند قطر ماتریس D ، قطر سوراخ d ، حجم ماتریس V_{bed} ، مساحت کل انتقال حرارت A_{ht} ، مساحت سطح مقطع ماتریس A_f ، محیط خیس شونده A_p ، ارتفاع بستر H ، افت فشار در واحد طول dp/dz چگالی آجر و مساحت سطح در واحد حجم S_V از واحد ذخیره‌سازی حرارت داشته و آن‌ها را تعیین می‌کند. ضریب تخلخل مطابق معادله (۱) بدست می‌آید.

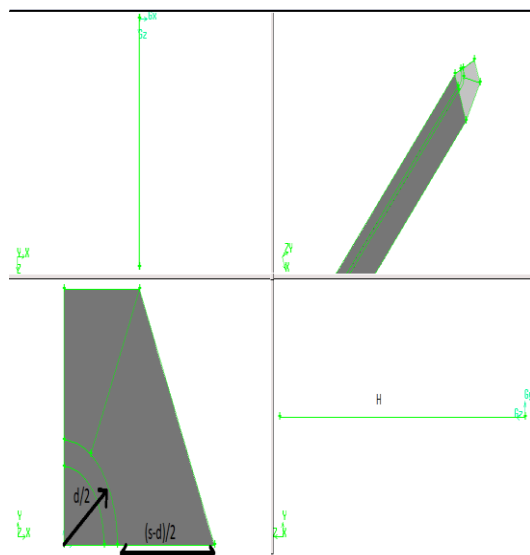
$$\eta = \frac{\frac{1}{2} \frac{\pi d^2}{4} H}{\frac{1}{2} \frac{\sqrt{3}}{4} s^2 H} = \frac{\sqrt{3} \pi}{6(s/d)^2} = \frac{0.90689}{(s/d)^2} \quad (۱)$$

و تعداد سوراخ‌های بستر از معادله (۲) در زیر محاسبه می‌شود:

جدول (۱): نتایج ورودی و خروجی‌های کد مهندسی

مدت زمان اجرای تونل باد Run-time (sec)	دماهی ابتدایی بستر قبل از اجرای تونل $T(k)$	دیواره بستر به ورودی به فشار هوا در ورودی P_{01} (bar)	دماهی هوا در خروجی T_{02} (k)	مورد
۱۱	۴۶۰	۵/۹	۵/۵	۴۰۶
۱۲	۸۰۰	۴/۹	۲۱	۶۷۱
۲۳	۱۲۰۰	۲/۹	۴۵	۹۹۱
۴۵	۱۷۰۰	۱/۶	۷۵	۱۳۵۵
۵۷	۱۹۵۰	۰/۷۵	۹۰	۱۸۰۰

نمونه‌ای از هندسه مدل‌سازی شده برای اعتبارسنجی روش حل و تحلیل ابعاد هندسی خروجی از کد مهندسی همانند شکل ۲ در زیر می‌باشد.



شکل (۲): مدل شبیه‌سازی شده

۳- معادلات حاکم

معادلات ناویراستوکس قادر به بیان کامل رفتار فیزیکی سیال در میدان جریان هستند و به عنوان معادلات حاکم معرفی شوند. به دلیل حضور ترم‌های غیرخطی حل مستقیم و تحلیلی معادلات ناویراستوکس به جز در مواردی محدود ممکن نبوده و برای حل از روش‌های عددی استفاده

شونده p در ارتفاع L بستر به دست می‌آید. همچنین h ضریب انتقال حرارت جابجایی بوده و از معادله (۸) به دست می‌آید:

$$h = 0.0231 \text{Re}_d^{0.8} \text{Pr}^{1/3} \left(\frac{K}{d} \right) \quad (8)$$

که در این رابطه K ضریب هدایت حرارتی هوا و d قطر سوراخ می‌باشد همچنین اعدادی Re و Pr به ترتیب از معادلات (۹) و (۱۰) به دست می‌آیند:

$$\text{Re} = \frac{\rho v d}{\mu} \quad (9)$$

$$\text{Pr} = \frac{\mu C_p}{k} \quad (10)$$

که در این روابط μ ویسکوزیته و v سرعت هوا می‌باشد. معادله (۱۱) زیر نشان‌دهنده مقدار انتقال حرارت ذخیره شده یا ازدست‌رفته از جامد در مدت زمان t می‌باشد.

$$q = \frac{mc}{t} (\theta_1 - \theta_2) \quad (11)$$

در این رابطه c گرمای ویژه و m جرم آجر می‌باشد که از حاصل ضرب چگالی آجر در حجم آن حاصل می‌شود.

معادله بقا جرم و مؤمنتم برای یک لوله از معادلات (۱۲) و (۱۳) زیر به دست می‌آید:

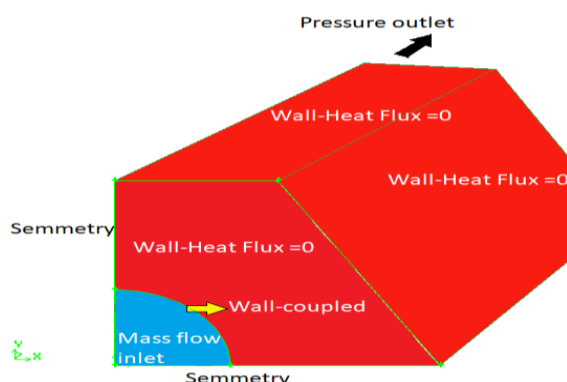
$$\rho_1 v_1 = \rho_2 v_2 \quad (12)$$

$$P_1 + \rho_1 v_1^2 = P_2 + \rho_2 v_2^2 \quad (13)$$

که در این روابط اندیس ۱ نشان‌دهنده ورودی و ۲ خروجی است. با توجه به روابط ذکر شده در بالا برای طراحی اولیه و مهندسی بستر گرمکن کد نویسی شده که با دادن شرایط ورودی قادر به تعیین ابعاد بستر گرمکن برای تأمین دمای موردنیاز جهت عدم میعان هوا می‌باشد.

این کد در یکی از مراکز تحقیقاتی آیرودینامیک کشور موجود بوده و برای شرایط جدول ۱ هندسه‌ای به ابعاد قطر بستر ۰/۳۵ متر و ارتفاع ۱/۵ متر با قطر سوراخ ۴ میلی‌متر و تخلخل ۰/۳۵۴۳ (s/d = ۱/۶) پیش‌بینی می‌کند.

در چرخه پیش‌گرمایش بستر توسط هوا داغ از قرار دادن دمای جامد برابر 300°C کلوین و برای چرخه گرمایش هوا از اعمال توزیع دمای چند درجه‌ای با ارتفاع بر روی بستر استفاده شده است. هوای ورودی در این حالت با دمای 219°C کلوین که دمای هوا در خروجی مخزن فشار است به حالت یک شرط مرزی وارد می‌شود و در حالت گرمایش بستر در اعتبارسنجی روش حل، این دما برای هوا داغ خروجی از مشعل 80°C کلوین در نظر گرفته شده است.



شکل (۳): شرایط مرزی برای حل مسئله

۵- خواص سیال و جامد

با توجه به تغییر خواص هوا در فشار و دمای بالا، در این پژوهش برای محاسبه چگالی، ویسکوزیتی، ضریب هدایت حرارتی و گرمای ویژه از روابط زیر استفاده شده است.

۱-۵- قانون گاز ایده‌آل^۲

برای تراکم‌پذیری هوا در فشار و دمای بالا، طبق معادله (۱۵) تغییر چگالی با دما و فشار از قانون گاز ایده‌آل استفاده شد.

$$\rho = \frac{P_{op} + P}{\frac{R}{M_w} T} \quad (15)$$

در معادله فوق P_{op} نشان‌دهنده فشار کاری^۳ و M_w جرم مولکولی می‌باشد. نمودار ۱ تغییرات چگالی هوا با فشار و دما را در حالات مختلف و پیش‌بینی گاز ایده‌آل را نشان می‌دهد.

2- Ideal gas
3- Operating pressure

می‌شود. در جریان آشفته با استفاده از روش تجزیه رینولدز به معادلات ناویراستوکس متوضع گیری شده توسط رینولدز (RANS) طبق معادله (۱۴) رسید:

$$\begin{aligned} \frac{\partial \rho}{\partial t} + \rho \frac{\partial \bar{U}_i}{\partial x_i} &= 0 \\ \rho \left(\frac{\partial \bar{U}_i}{\partial t} + \frac{\partial \bar{U}_i U_j}{\partial x_j} \right) &= \rho \bar{g}_i - \frac{\partial \bar{P}}{\partial x_i} + \frac{\partial}{\partial x_j} \left(\mu \frac{\partial \bar{U}_i}{\partial x_j} - \rho \bar{U}'_i \bar{U}'_j \right) \\ \frac{\partial}{\partial t} \left(\frac{U'_i U'_j}{2} \right) + \frac{\partial}{\partial x_i} \left(\bar{U}_i \frac{U'_j U'_j}{2} \right) &= U'_i U'_j \frac{\partial \bar{U}_j}{\partial x_i} - \frac{\partial}{\partial x_i} \left[U'_i \left(\frac{\bar{P}}{\rho} + \frac{U'_j U'_j}{2} \right) \right] \\ + \nu \frac{\partial}{\partial x_i} \left[U'_j \left(\frac{\partial U'_i}{\partial x_j} + \frac{\partial U'_j}{\partial x_i} \right) \right] + \nu \left(\frac{\partial U'_i}{\partial x_j} + \frac{\partial U'_j}{\partial x_i} \right) \frac{\partial U'_j}{\partial x_i} & \end{aligned} \quad (14)$$

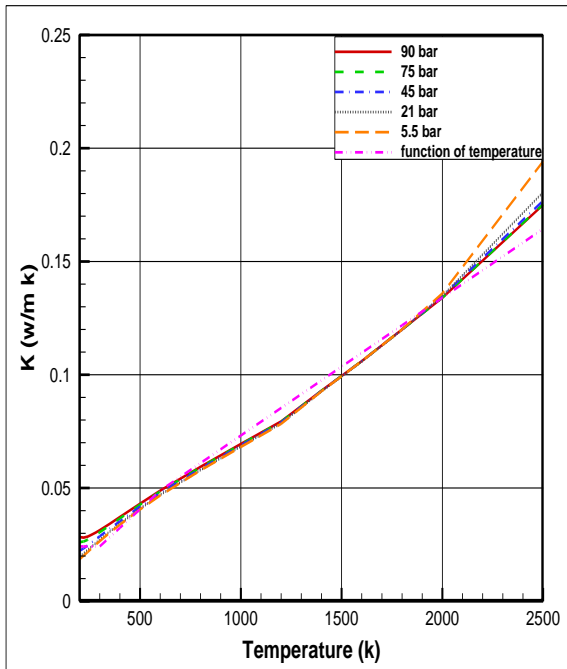
در این روابط معادله مؤمنتم برای مقادیر متوضع سرعت نسبت به معادله مؤمنتم برای مقادیر لحظه‌ای سرعت دارای ترم اضافی ($\rho \bar{U}'_i \bar{U}'_j$) می‌باشد که بیانگر اثر تبادل مؤمنتم در مقیاس انتشاری بوده و آن را تنفس رینولدزی می‌نامند. این ترم اضافی باید به نحوی مدل شود تا میدان جریان متوضع گیری شده به سمت میدان جریان اصلی میل کند. این مدل‌سازی خود به چند زیرمجموعه دو، سه و چهار معادله‌ای تقسیم می‌شود. در حل این مسئله به دلیل اهمیت انتقال حرارت بین سیال و دیواره و نیاز به دقت بالا از مدل دو معادله‌ای کی امگا (k-ω) انتقال تنفس برشی^۱ (SST) استفاده شده است. این مدل از یکتابع بهبود رفتار که امکان تغییر وضعیت هموار از حالت اعداد رینولدز پایین به روابط تابع دیواره را میسر می‌سازد استفاده می‌کند و برای جریان رینولدز پایین و دارای جدایش پیش‌بینی بهتری نسبت به سایر مدل‌های دو معادله‌ای دارد.

۴- شرایط مرزی و اولیه

شرایط مرزی حل مطابق شکل ۳ برای مرزهای بیرونی و دو مرز جانبی سمت ورود و خروج هوا به سلول از شرط مرزی دیوار عایق گرما و برای مرزهای جانبی شرط متقاضی می‌باشد. همچنین برای مرز تماس بین جامد و سیال شرط مرزی دیوار کوپل به معنای داشتن انتقال حرارت جابجاگی به همراه هدایت در نظر گرفته شده است. شرط اولیه دمایی

است. همان‌طور که در نمودار ۳ نشان داده شده این ضریب بستگی به فشار ندارد. در نرم‌افزار عددی برای اعمال از گزینه تابع چندتکه‌ای-چندجمله‌ای^۴ استفاده شده است.

$$\begin{cases} 0 < T < 300 \rightarrow K = 0.0242 W/mK \\ 300 < T < 600 \rightarrow K = (123571.4 + 608.2149T) * 10^{-7} \\ 600 < T < 2500 \rightarrow K = (-45 + 8.216T) * 10^{-5} \end{cases} \quad (16)$$

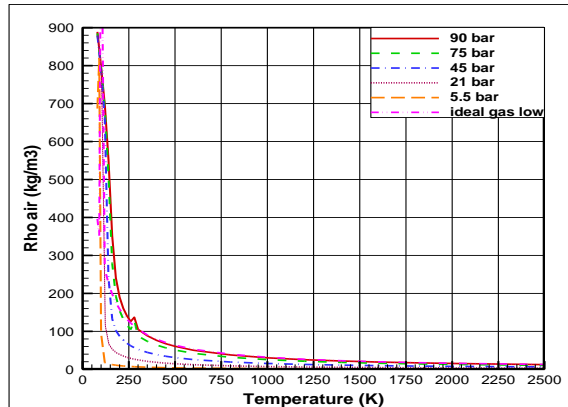


نمودار (۳): تغییرات ضریب هدایت حرارتی هوا با دما در فشارهای کاری مختلف [۲۸].

۴-۵- گرمای ویژه^۶

برای بیان دقیق‌تر گرمای ویژه هوا در بازه‌های دمایی مختلف بر حسب کلوین، از چندین تابع چندجمله‌ای بر حسب دما در بازه‌های فشاری مختلف مطابق معادله (۱۷) استفاده شده است (واحد ژول بر کیلوگرم کلوین). مطابق نمودار ۴ این ضریب در یک بازه کوتاه بستگی به فشار دارد.

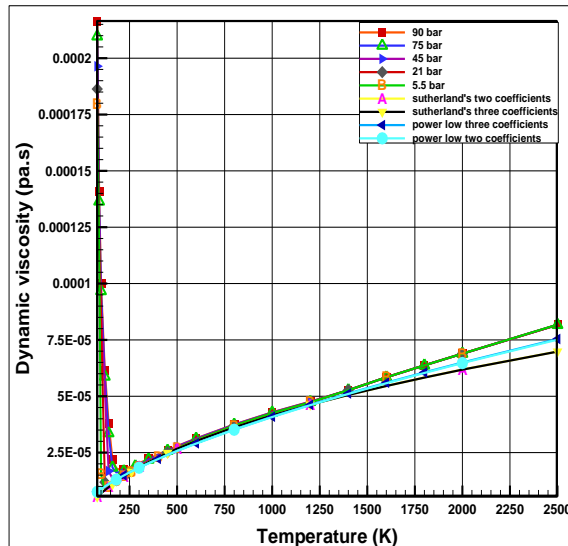
$$\begin{cases} P < 45\text{bar} \rightarrow cp = 1303.664 - 1.06854T \\ P = 45\text{bar} \rightarrow cp = 1403.664 - 1.06854T \\ P > 45\text{bar} \rightarrow cp = 1503.664 - 1.06854T \\ 350 < 0 < 1150 \rightarrow cp = 1070 - 0.365T + 8.5 * 10^{-4}T^2 - 3.9 * 10^{-7}T^3 \\ 1150 < T < 2500 \rightarrow cp = 1019.2 + 0.1295T \end{cases} \quad (17)$$



نمودار (۱): تغییر چگالی هوا با دما در فشارهای کاری مختلف [۲۸].

۲-۵- ویسکوزیته^۱

برای محاسبه تغییرات ویسکوزیته هوا با دما و فشار از قانون توانی روش دو ضریبی^۲ با رابطه $(4.093e^{-7}T^{2/3})$ استفاده شد. نمودار ۲ تغییرات ویسکوزیته دینامیکی هوا با دما در فشارهای کاری مختلف و پیش‌بینی قانون توانی مورداستفاده در مقایسه با قانون ساترلند^۳ را نشان می‌دهد.



نمودار (۲): تغییر ویسکوزیته دینامیکی هوا با دما در فشارهای کاری مختلف [۲۸].

۳-۵- ضریب هدایت حرارتی^۴

برای محاسبه دقیق‌تر ضریب هدایت حرارتی هوا در بازه‌های دمایی مختلف بر حسب کلوین از معادله (۱۶) استفاده شده

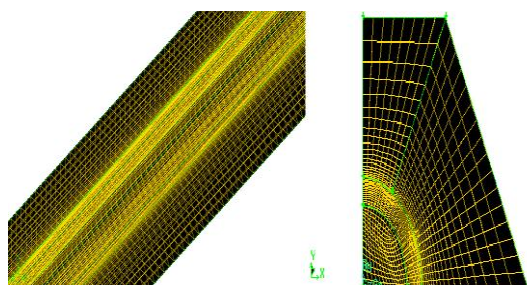
۷-۵- ضریب هدایت حرارتی آلمینا

ضریب هدایت حرارتی برای ماده آلمینا از معادله (۱۹) محاسبه و طبق نمودار ۵ با دما تغییر می‌کند.

$$\begin{cases} 298 < T < 1500 \rightarrow K = 85.868 - 0.22972T + 2.607 \times 10^{-4}T^2 \\ -1.3607 \times 10^{-7}T^3 + 2.7092 \times 10^{-11}T^4 \\ 1500 < T < 2000 \rightarrow K = 5.8604 \end{cases} \quad (19)$$

۶- شبکه‌بندی

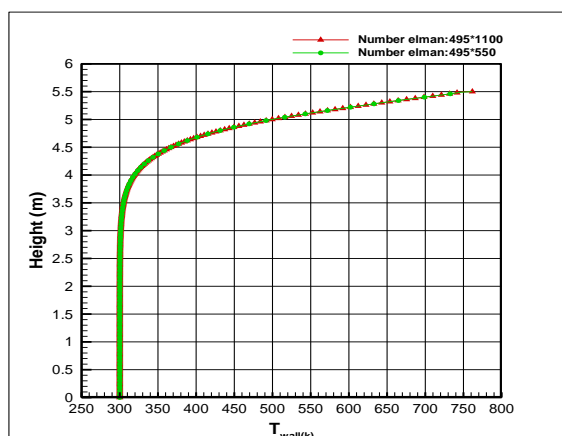
در این مسئله به دلیل نیاز به تحلیل و محاسبه دقیق‌تر خروجی‌ها از شبکه محاسباتی ساختاریافته مطابق شکل ۵ استفاده شد و در مرز بین سیال و جامد از شبکه‌بندی ریزتری برای محاسبه لایه‌مرزی سرعت و حرارتی با دقت بیشتری مورد استفاده قرار گرفت.



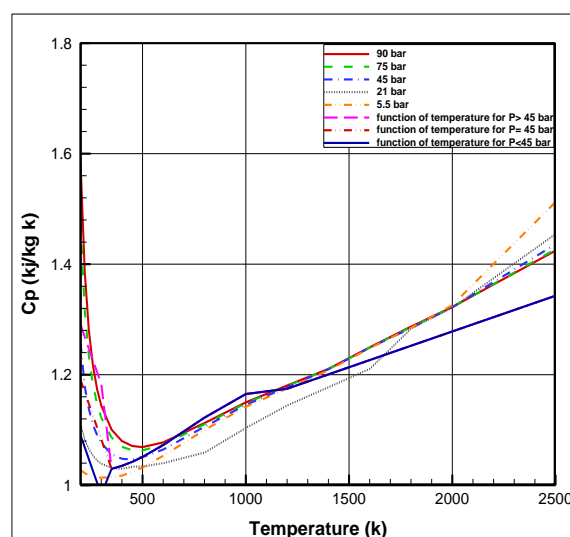
شکل (۵): شبکه محاسباتی

۶- استقلال حل از شبکه

در حل این مسئله در دو جهت سطح مقطع و طول به دلیل حضور گرادیان شدید دمایی به استقلال نتایج حل از شبکه پرداخته شده است. نمودار ۶ نشان داد که با افزایش تعداد المان شبکه در جهت ارتفاع، دمای دیواره تغییراتی ندارد.



نمودار (۶): تغییر دمای دیواره با شبکه ریزتر در جهت ارتفاع



نمودار (۴): تغییر گرمای ویژه هوا در فشار کاری مختلف [۲۸]

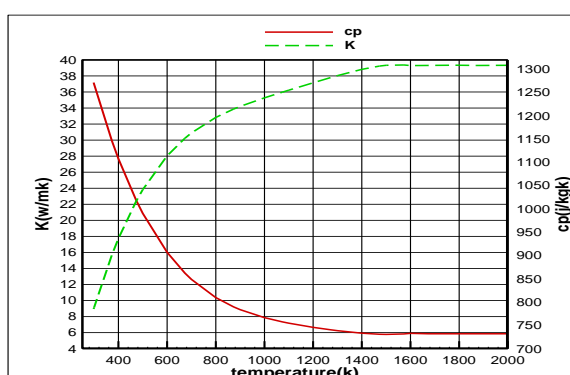
۵- چگالی آلمینا

در این پژوهش جنس آلمینا برای بستر گرم کن انتخاب شده که این ماده بر حسب درصد خلوص و تخلخل دارای چگالی‌های مختلفی است. در اینجا از خلوص بالا با چگالی ۳۹۰۰ کیلوگرم بر مترمکعب استفاده شده است.

۶- گرمای ویژه آلمینا

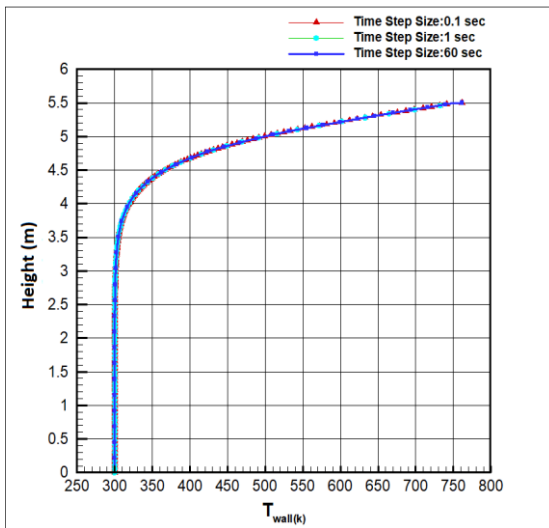
مقدار گرمای ویژه ماده آلمینا با دما مطابق معادله (۱۸) تغییر می‌کند. نمودار ۵ نشان‌دهنده تغییرات گرمای ویژه و ضریب حرارتی آلمینا با دما می‌باشد.

$$\begin{cases} 298 < T < 1500 \rightarrow cp = -40.92 + 4.024T \\ -5.0048 \times 10^{-3}T^2 + 2.8852 \times 10^{-6}T^3 - 6.2488 \times 10^{-10}T^4 \\ 1500 < T < 2000 \rightarrow cp = 1308.375 \end{cases} \quad (18)$$



نمودار (۵): تغییر گرمای ویژه و ضریب هدایت برای آلمینا [۲۸]

همگرایی در هر گام زمانی تغییراتی در نتایج حل وجود ندارد؛ بنابراین به ترتیب گام‌های زمانی ۰، ۶ و یک ثانیه در صحت سنجی روش حل و تحلیل مسئله، به عنوان دوره مناسب برای پیش‌گردانی و گردآوری انتخاب و استفاده شدند.



نمودار (۹): مقایسه تغییر دمای دیواره با گام زمانی حل

۴-۶- معیار همگرایی

مقدار باقیماندهای حل برای معادلات پیوستگی، مؤمنت و انرژی کمتر از ۱۰^{-۵} به عنوان معیار همگرایی در نظر گرفته شده است.

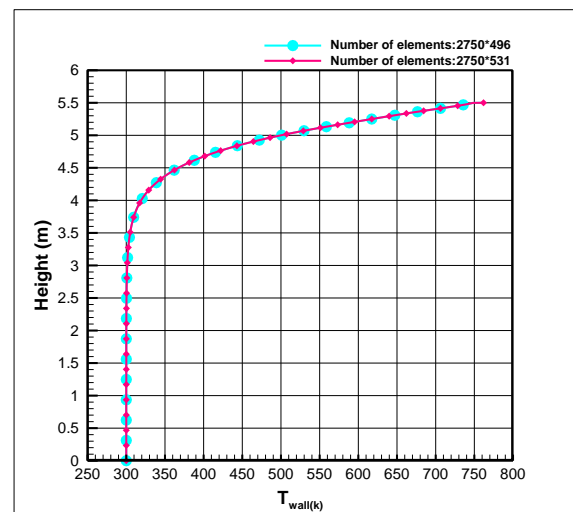
۳-۶- عدد بی بعد y-plus

یکی از مسائل مهم در شبیه‌سازی جریان‌های آشفته، خصوصاً در مواقعی که پدیده‌های نزدیک دیواره دارای اهمیت است، حضور تعداد کافی سلول در لایه مرزی برای شبیه‌سازی دقیق پروفیل دما و سرعت است. ازین‌رو عدد بدون بعدی که برای محاسبه ارتفاع اولین سلول مجاور دیواره به کار می‌رود، به صورت معادله (۲۰) تعریف می‌شود:

$$y^+ = \frac{\rho u^* y}{\mu} \quad (20)$$

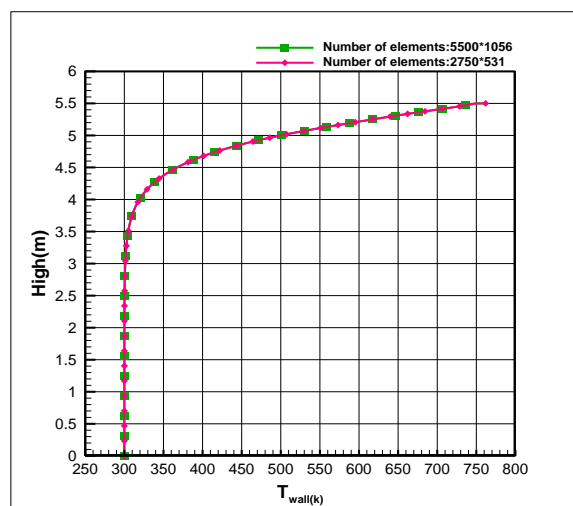
که y ارتفاع اولین سلول مجاور دیواره می‌باشد. همچنین u^* یک سرعت مشخصه برای جریان آشفته است که از روی تنش برشی دیواره و چگالی سیال محاسبه می‌شود. در

نمودار ۷ تغییرات را برای یک شبکه‌بندی ریزتر در جهت سطح مقطع نشان می‌دهد.



نمودار (۷): تغییرات دمای دیواره با ریز کردن شبکه در جهت سطح مقطع

همچنین مطابق نمودار ۸ اگر در هر دو جهت ارتفاع و سطح مقطعی شبکه را ریزتر کنیم تغییراتی نخواهیم داشت.



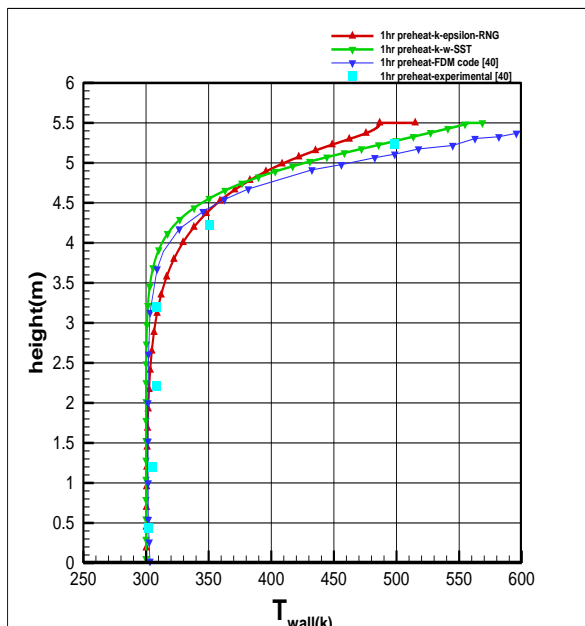
نمودار (۸): تغییرات دمای دیواره با شبکه ریزتر در جهت سطح مقطع و ارتفاع

۶-۲- استقلال حل از گام زمانی

برای به دست آوردن گام زمانی مناسب و افزایش سرعت همگرایی در حل ناپایا، دوره‌های زمانی متفاوتی امتحان شد. نمودار ۹ نشان می‌دهد که با افزایش گام زمانی به شرط

۶-۵- اعتبارسنجی روش حل

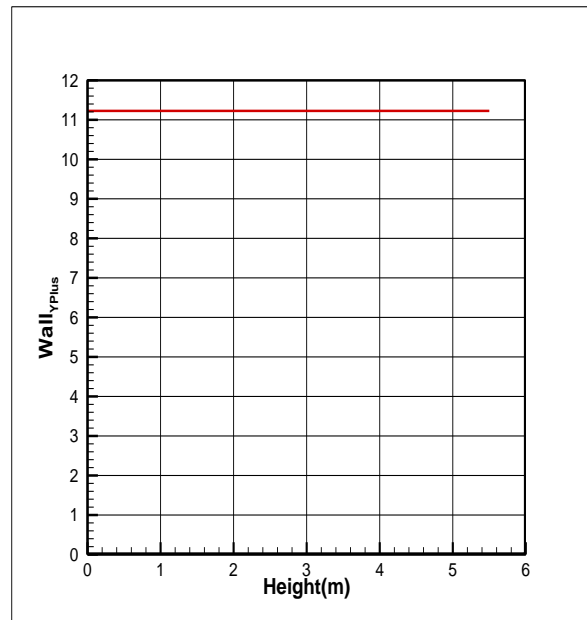
برای اعتبارسنجی روش حل مسئله به بررسی دو مدل توربولانسی کی اپسیلون RNG و کی امگا SST پرداخته شد. همان‌طور که از نمودار ۱۲ برای یک ساعت چرخه پیش‌گرمایش دیده می‌شود روش کی امگا SST قادر به پیش‌بینی نتایج دقیق و نزدیکتری به نتایج تجربی و کد عددی (مقاله مورداستفاده برای اعتبارسنجی، مرجع [۲۶]) نسبت به روش کی اپسیلون RNG دارد، بنابراین در شبیه‌سازی‌ها برای حل مسئله از روش کی امگا SST استفاده شد.



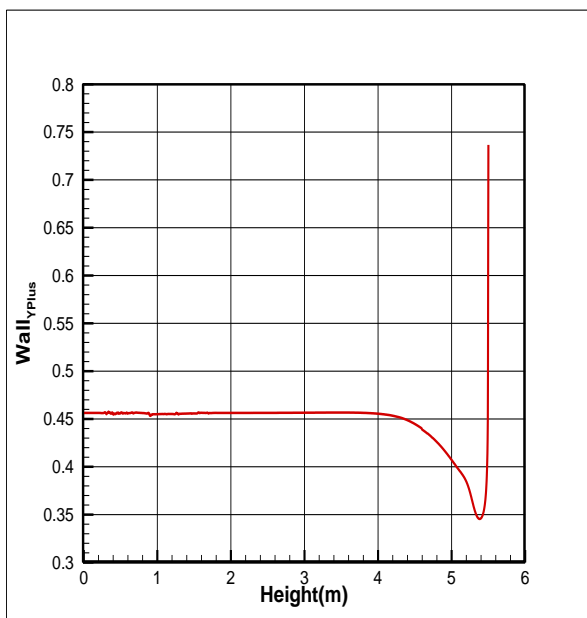
نمودار (۱۲): مقایسه دو روش حل کی اپسیلون RNG و کی امگا SST با نتایج تجربی و کد عددی

این شبیه‌سازی برای چرخه پیش‌گرمایش در فشار کاری محیط یعنی $10^{13.25}$ پاسکال و برای شرط مرزی دبی ورودی و فشار خروجی صفر با شرایط مرزی و اولیه و خواص سیال و جامد متغیر ذکر شده در قبل، برای هندسه سلول به ابعاد قطر بستر $2/5$ متر، قطر سوراخ 8 میلی‌متر، ارتفاع $5/5$ متر و تعداد سوراخ بستر 14850 و دبی هوای داغ ورودی 2 کیلوگرم بر ثانیه انجام و اعتبارسنجی روش حل صورت

حل و اعتبارسنجی روش حل این مسئله با مدل کی اپسیلون RNG مقدار عدد YPlus مطابق نمودار ۱۰ حداکثر برابر 11 و در استفاده از مدل کی امگا SST مطابق نمودار ۱۱ این مقدار برابر 0.45 تا 0.7 در ورودی می‌باشد.

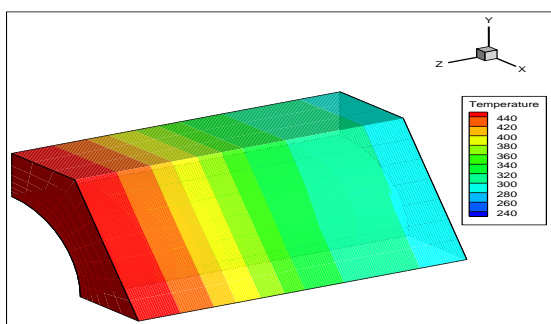


نمودار (۱۰): عدد YPlus در حل مسئله به روش $k-\epsilon$ RNG



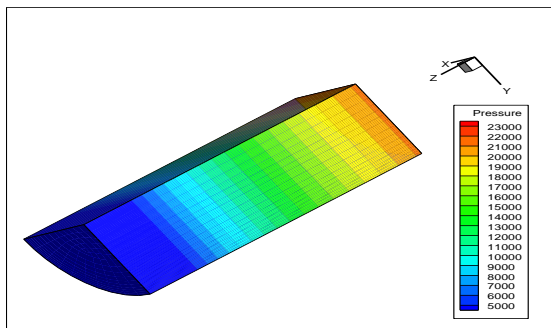
نمودار (۱۱): عدد YPlus در حل مسئله به روش $K-\omega$ SST

به دست می‌آید. برای اعمال فشار هوای ورودی به بستر این فشار را در قسمت فشار کاری نرمافزار عددی وارد کرده و در خروجی از شرط مرزی فشار خروجی برابر صفر استفاده می‌شود بدین ترتیب نرمافزار به صورت خودکار فشار در ورود و خروج را محاسبه می‌کند. برای اعمال دمای ابتدایی بستر به صورت منحنی مشابه پیش‌گرمایش شش ساعته برای بستر که در مقاله مورد استفاده برای اعتبارسنجی ارائه شده به عنوان شرط مرزی اولیه اعمال می‌کنیم.



شکل (۶): کانتور دمای ابتدایی بستر برای گوشه سلول

تغییر فشار هوا در ثانیه یازدهم اجرا برای مورد اول جدول ۱ با دبی ورودی کل $5/9$ کیلوگرم بر ثانیه طبق شکل ۷ است.

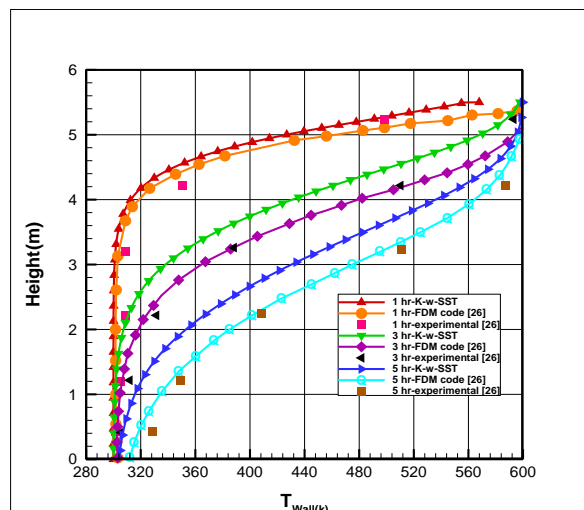


شکل (۷): کانتور تغییرات فشار در ثانیه یازدهم اجرا

نمودار ۱۴ نشان‌دهنده تغییرات فشار هوا در طول بستر و در مرکز لوله برای ثانیه یازدهم اجرا می‌باشد. حاصل جمع فشار کاری با مقادیر این نمودار فشار کل را به دست می‌دهد که از ورودی تا خروجی به دلیل لزجت شاهد افت فشار هستیم. با گرمایش هوا، چگالی کاهش یافته و هوا سبک‌تر می‌شود.

نمودار ۱۵ تغییرات چگالی در طول بستر را نشان می‌دهد. نمودار ۱۶ تغییرات سرعت محوری هوا را در طول سوراخ برای ثانیه یازدهم نشان می‌دهد. طبق این نمودار با افزایش

گرفته است. نمودار ۱۳ نشان‌دهنده مقایسه بین نتایج عددی با نتایج تجربی و ریاضی برای یک، سه و پنج ساعت پیش‌گرمایش تا ۶۰۰ کلوین می‌باشد.



نمودار (۱۳): تغییرات دمای دیواره با ارتفاع بستر برای یک، سه و پنج ساعت پیش‌گرمایش تا ۶۰۰ کلوین

با توجه به نمودارهای آورده شده در بالا، روش حل عددی کی امگا SST به همراه شرایط مرزی، اولیه و فرضیات انجام‌شده توانست با خطای کمتر از ده درصد نتایجی نزدیک به نتایج تجربی و ریاضی پیش‌بینی نماید؛ بنابراین از نتایج حاصل از پیش‌گرمایش و خصوصاً توزیع دمای شکل گرفته بر روی دیواره بعد از شش ساعت پیش‌گرمایش به عنوان شرط اولیه توزیع دمای دیواره برای حل چرخه گرمایش هوا در مراحل بعدی حل مسئله استفاده شد.

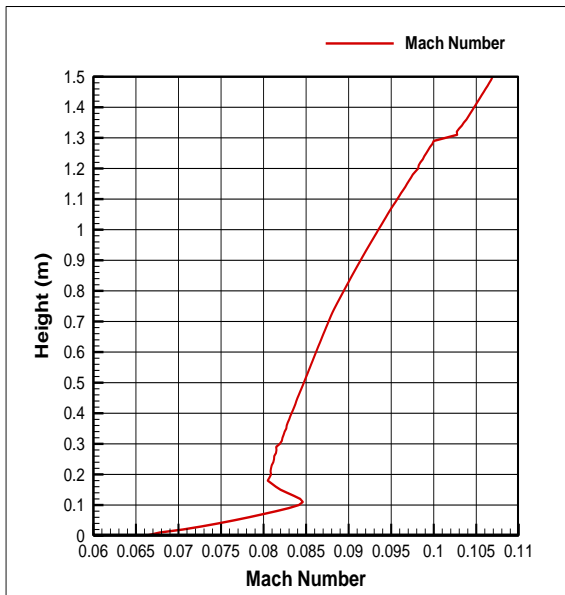
۴- نتایج و بحث

در این بخش به تحلیل و طراحی بستر مناسب برای گرمکن پرداخته شده است.

۴-۱- تحلیل ابعاد بستر گرمکن به دست آمده از طراحی اولیه به روش مهندسی برای شرایط ورودی مختلف

پس از مدل‌سازی و شبکه‌بندی هندسه به دست آمده از طراحی اولیه با کد مهندسی برای نتایج جدول ۱، تعداد سوراخ بستر محاسبه و دبی هوای ورودی به هر سلول

نمودار ۱۷ تغییرات عدد ماخ در مرکز یک سوراخ را در راستای ارتفاع بستر نشان می‌دهد.

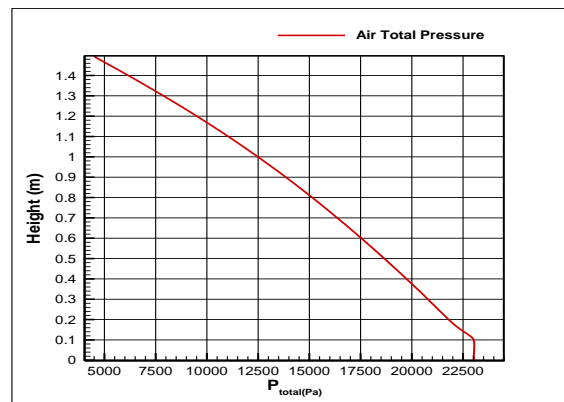


نمودار (۱۷): تغییرات عدد ماخ با ارتفاع بستر در ثانیه یازدهم

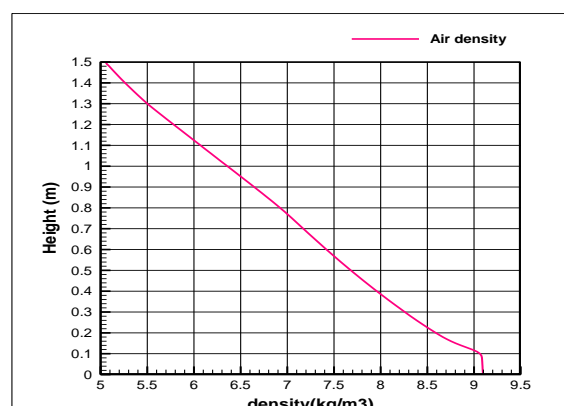
در نمودارهای ۱۶ و ۱۷ با توجه به افزایش دمای سیال و افزایش حجم آن انتظار می‌رود سرعت افزایش یابد؛ اما در این نمودارها یک تغییر جهت ناگهانی وجود دارد که علت آن در نظر گرفتن سرعت در محور وسط سوراخ آجر بهجای سرعت متوسط در هر مقطع عرضی برحسب ارتفاع‌ها (مانند توجیه فیزیکی این پدیده اینکه در برخی از ارتفاع‌ها بخشی که دچار پرش شده) برهم‌کنش لایه‌مرزی حرارتی و سرعتی موجب گردیده سرعت در اطراف دیواره رشد بیشتری داشته (بهدلیل دمای بالاتر) و بهدلیل حفظ پیوستگی، سرعت در خط میانی اندکی کاهش یابد، درصورتی که سرعت متوسط در هر مقطع عرضی از پایین تا بالای مجرأ کاملاً افزایشی و بدون پرش است.

شکل ۸ تغییرات دمای هوا را برای ثانیه یازدهم نشان می‌دهد. لایه‌مرزی حرارتی از کنار دیواره شروع و با نزدیک شدن به سمت مرکز لوله انتقال حرارت کاهش می‌یابد.

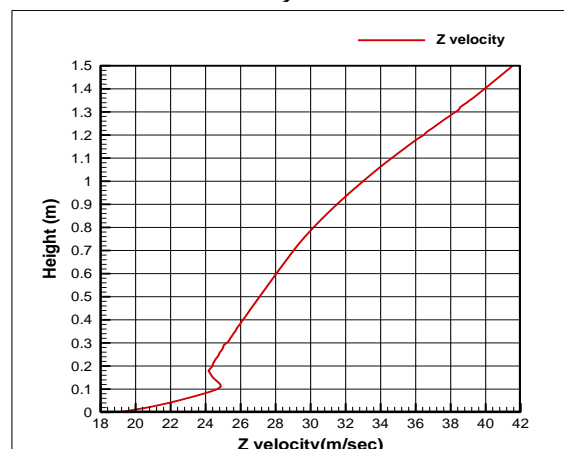
دمای هوا از ورودی تا خروجی، شاهد افزایش سرعت هستیم.



نمودار (۱۴): تغییرات فشار کل در طول بستر در ثانیه یازدهم



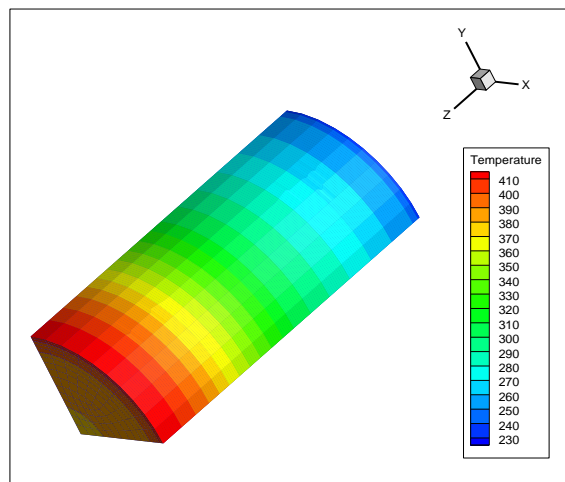
نمودار (۱۵): تغییر چگالی هوا در طول بستر برای گرمایش هوا



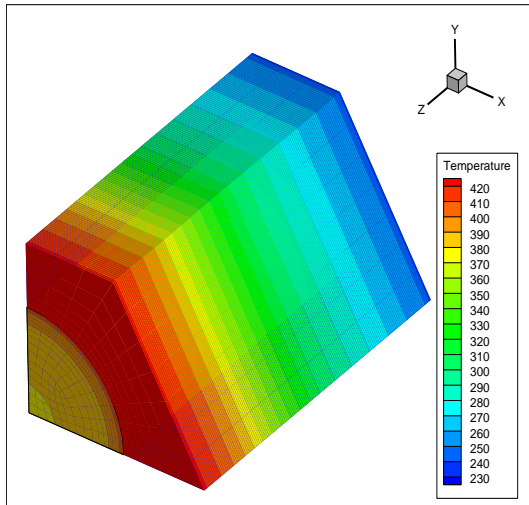
نمودار (۱۶): تغییر سرعت محوری در طول بستر در ثانیه یازدهم

نمودار ۱۸ تغییرات دمای هوای ثانیه یازدهم اجرا در طول بستر نشان می‌دهد. همچین کانتور شکل ۹ تغییرات دمای دیواره را برای ثانیه یازدهم اجرا نشان می‌دهد. نمودار ۱۹ نشان‌دهنده تغییرات دمای دیواره برای ثانیه یازدهم اجرا می‌باشد.

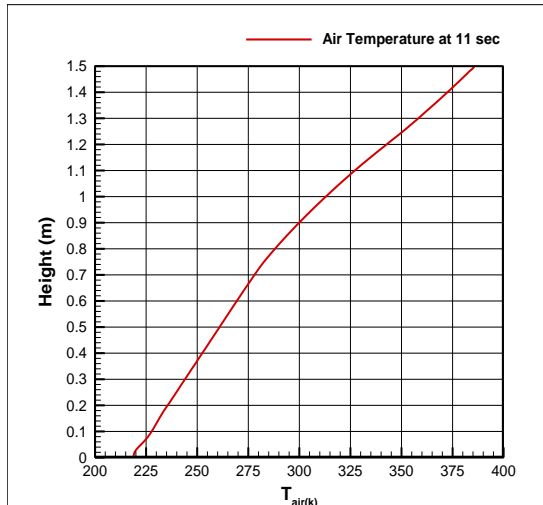
نمودار ۲۰ تغییرات دمای هوای مرکز لوله در امتداد ارتفاع بستر را در مدت زمان اجرا نشان می‌دهد. این نمودار نشان می‌دهد که با گذشت زمان از ظرفیت حرارتی گرمکن کاسته شده و توانایی ارائه دمای هوای بالا برای خروجی همانند ثانیه‌های اولیه شروع اجرا ندارد.



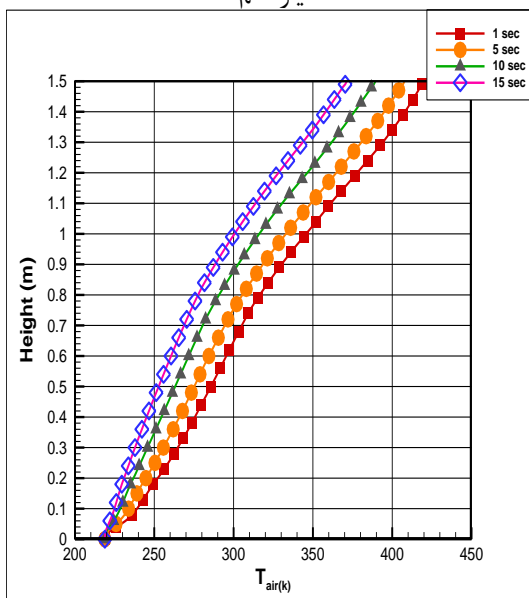
شکل (۸): تغییرات دمای هوای ورودی برای ثانیه یازدهم



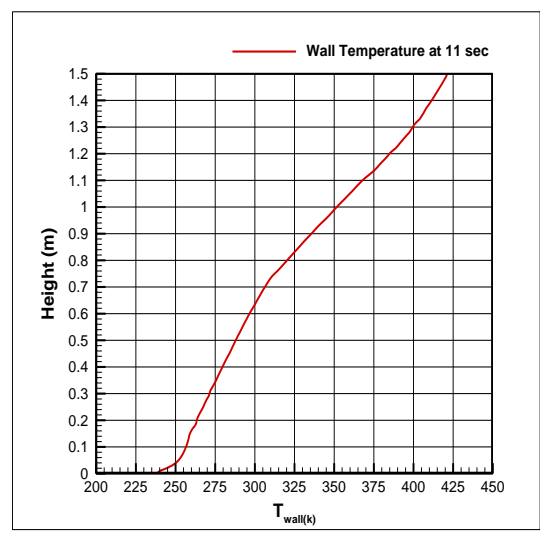
شکل (۹): کانتور تغییرات دمای دیواره برای ثانیه یازدهم



نمودار (۱۸): تغییر دمای هوای در طول بستر برای ثانیه یازدهم



نمودار (۲۰): تغییرات دمای هوای با ارتفاع بستر در زمان‌های مختلف از زمان اجرا

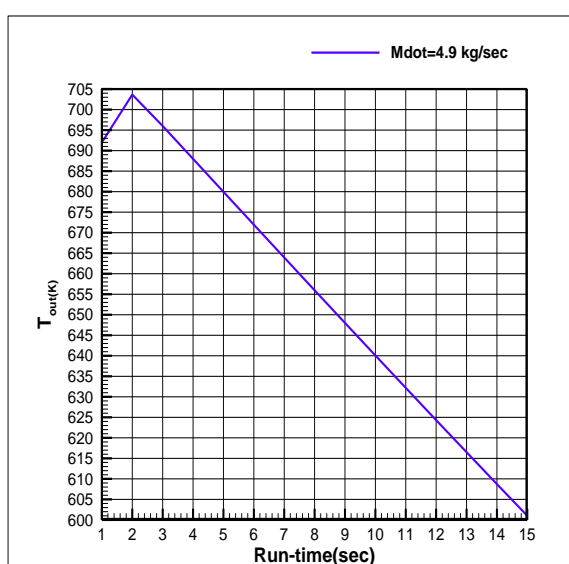


نمودار (۱۹): تغییرات دمای دیواره برای ثانیه یازدهم اجرا

همان طور که از نمودار (۲۲) برای میانگین وزنی دمای هوا در خروجی مشاهده می‌شود این طراحی با الحاق حداقل مقدار دمای ابتدایی بستر ۴۶۰ کلوین تنها به مدت ۶ ثانیه پس از شروع اجرا قادر به تأمین دمای ۴۰۶ کلوین موردنیاز برای عدم چگالش هوای خروجی است و برای دستیابی به مدت ۱۱ ثانیه باید ابعاد طراحی اصلاح شود.

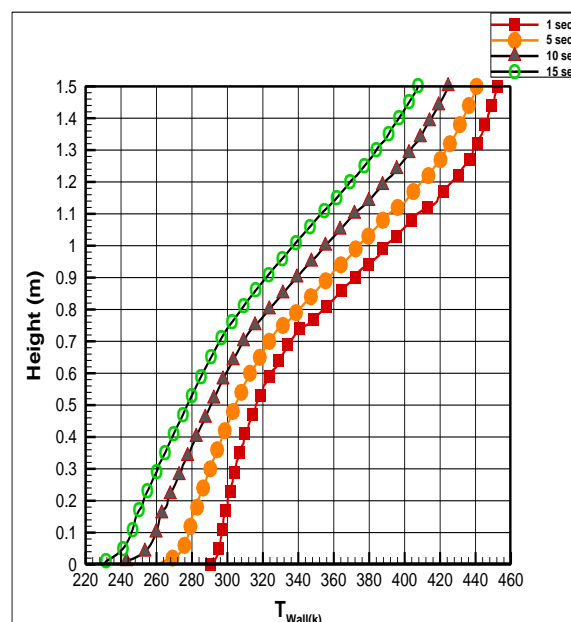
برای موارد ۲ تا ۵ جدول ۱ نیز مشابه‌آمی توان نمودار و کانتورهای فشار، دما، چگالی و سرعت را در ثانیه آخر اجرا بررسی و ارائه کرد. نمودار مربوط به تغییرات دمای هوای خروجی باگذشت زمان اجرا نشان‌دهنده تناسب یا عدم تناسب ابعاد هندسی طراحی شده از کد طراحی مهندسی برای بستر است. این نمودار برای موارد ۲ تا ۵ به صورت زیر است.

نمودار (۲۳) تغییرات دمای هوای خروجی بستر گرم‌کن را در مدت زمان اجرا برای مورد دوم جدول ۱ با دبی ورودی کل ۴/۹ کیلوگرم بر ثانیه نشان می‌دهد. همان‌طور که از این نمودار برای میانگین وزنی دمای هوا در خروجی مشاهده می‌شود این طراحی با الحاق حداقل مقدار دمای ابتدایی بستر ۸۰۰ کلوین تنها به مدت ۶ ثانیه پس از شروع اجرا قادر به تأمین دمای ۶۷۱ کلوین موردنیاز برای عدم چگالش هوای خروجی است و برای دستیابی به مدت ۱۲ ثانیه باید ابعاد طراحی اصلاح شود.



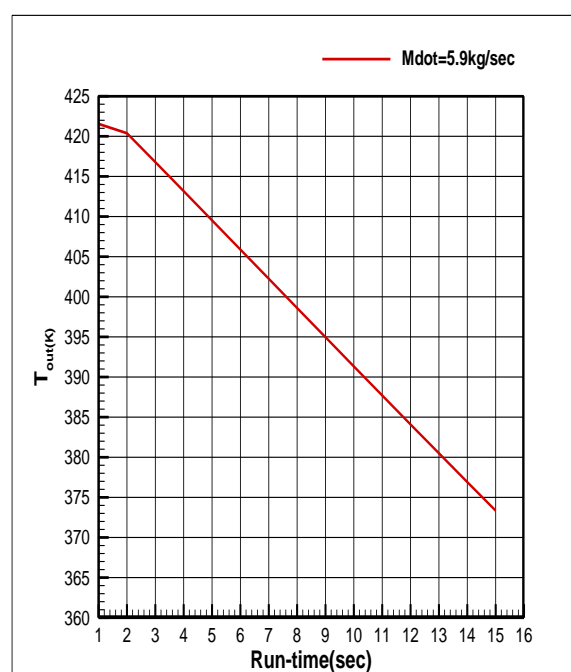
نمودار (۲۳): تغییرات دمای هوای خروجی باگذشت زمان برای مورد دوم جدول (۱)

نمودار (۲۱) تغییرات دمای دیواره در طول بستر را در زمان‌های مختلف اجرا نشان می‌دهد. همان‌طور که مشاهده می‌شود با گذر زمان دیواره خنک‌تر شده و دما افت می‌کند.



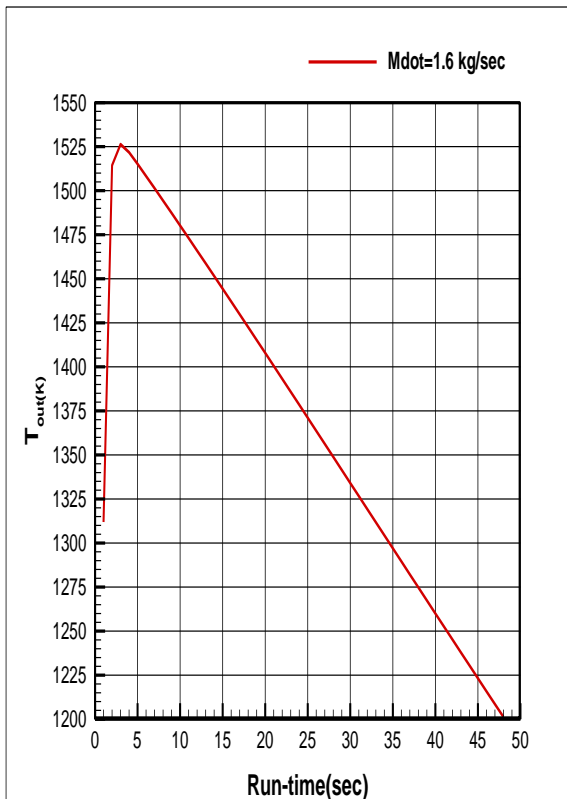
نمودار (۲۱): تغییر دمای دیواره در طول بستر با زمان اجرا

نمودار (۲۲) تغییرات دمای هوای خروجی بستر گرم‌کن را در مدت زمان اجرا نشان می‌دهد.



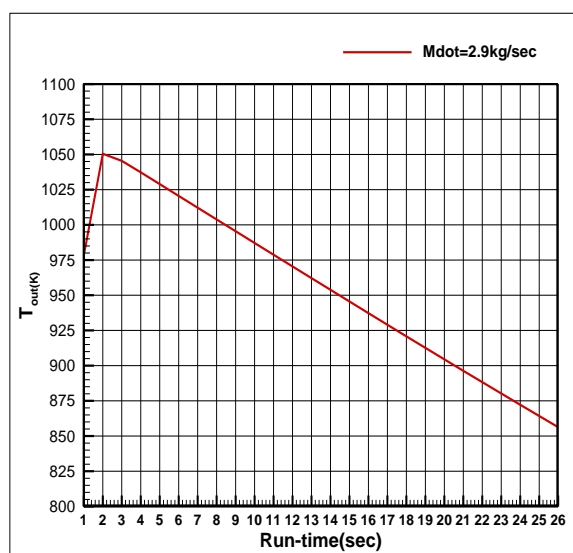
نمودار (۲۲): تغییرات دمای هوای خروجی باگذشت زمان برای مورد اول جدول (۱)

دماهای ابتدایی بستر ۱۹۵۰ کلوین تنها به مدت ۴ ثانیه در طول اجرا قادر به تأمین دماهای ۱۸۰۰ کلوین موردنیاز برای عدم چگالش هوای خروجی است و برای دستیابی به مدت ۵۷ ثانیه باید ابعاد طراحی اصلاح شود.



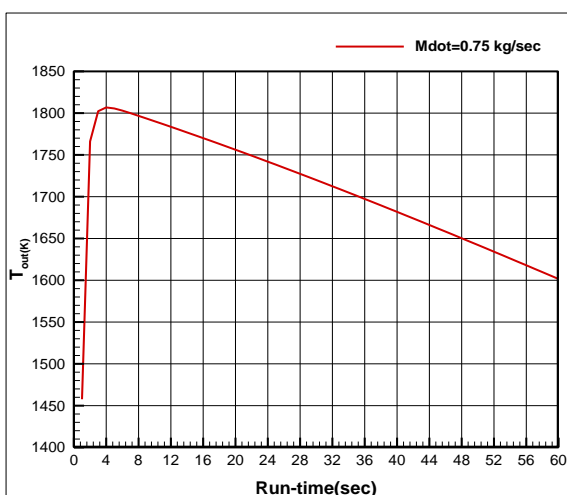
نمودار (۲۵): تغییرات دماهای هوای خروجی باگذشت زمان برای مورد چهارم جدول (۱)

نمودار ۲۴ تغییرات دماهای هوای خروجی بستر گرمکن را در مدت زمان اجرا برای مورد سوم از جدول ۱ با دبی ورودی کل ۲/۹ کیلوگرم بر ثانیه نشان می‌دهد. همان‌طور که از این نمودار برای میانگین وزنی دماهی هوا در خروجی مشاهده می‌شود این طراحی با الحاق حداکثر مقدار دماهای ابتدایی بستر ۱۲۰۰ کلوین تنها به مدت ۹ ثانیه پس از شروع اجرا قادر به تأمین دماهای ۹۹۱ کلوین موردنیاز برای عدم چگالش هوای خروجی است و برای دستیابی به مدت ۲۳ ثانیه باید ابعاد طراحی اصلاح شود.

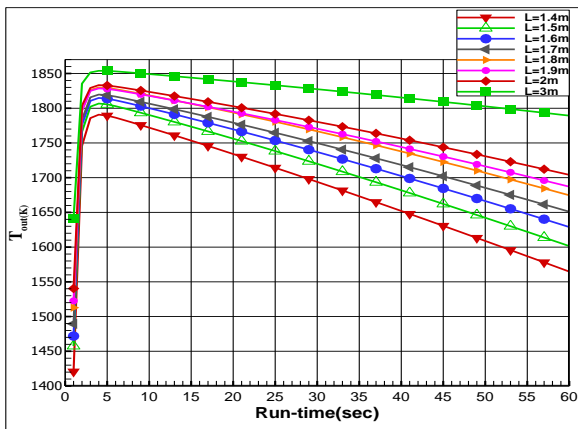


نمودار (۲۴): تغییرات دماهای هوای خروجی باگذشت زمان برای مورد سوم جدول (۱)

نمودار ۲۵ تغییرات دماهای هوای خروجی بستر گرمکن را در مدت زمان اجرا برای مورد چهارم از جدول ۱ با دبی ورودی کل ۱/۶ کیلوگرم بر ثانیه نشان می‌دهد. همان‌طور که از این نمودار برای میانگین وزنی دماهی هوا در خروجی مشاهده می‌شود این طراحی با الحاق حداکثر مقدار دماهای ابتدایی بستر ۱۷۰۰ کلوین تنها به مدت ۲۸ ثانیه پس از شروع اجرا قادر به تأمین دماهای ۱۳۵۵ کلوین موردنیاز برای عدم چگالش هوای خروجی است و برای دستیابی به مدت ۴۵ ثانیه باید ابعاد طراحی اصلاح شود. نمودار ۲۶ تغییر دماهی هوای خروجی بستر گرمکن را در زمان اجرا برای مورد پنجم جدول ۱ با دبی ورودی کل ۰/۷۵ کیلوگرم بر ثانیه نشان می‌دهد. طبق این نمودار که برای میانگین وزنی دماهی هوا در خروجی رسم شده است. این طراحی با الحاق حداکثر



نمودار (۲۶): تغییرات دماهای هوای خروجی باگذشت زمان برای مورد پنجم جدول (۱)



نمودار (۲۷): تأثیر طول‌های مختلف بستر گرمکن بر دمای هوای خروجی در مدت زمان اجرا

۴-۱-۲- بررسی اثر قطر سوراخ بر گرمایش هوا

برای بررسی تأثیر قطر سوراخ بر دمای هوای خروجی سه پارامتر ارتفاع، قطر و تخلخل بستر ثابت فرض شده و هندسه برای قطرهای سوراخ مختلف مدل‌سازی، شبکه‌بندی و حل شده است. با توجه به مقدار تخلخل ثابت با تغییر قطر سوراخ فاصله مراکز سوراخها از هم و درنتیجه حجم گوشه‌های اطراف سلول تغییر می‌کند که اگر این حجم افزایش یابد ظرفیت ذخیره و آزادسازی حرارت افزایش می‌یابد. از طرفی با ثابت بودن قطر بستر، تعداد سوراخها با تغییر قطر تغییر کرده و نرخ دبی جرمی و سرعت در هر سوراخ تغییر می‌کند. جدول ۲ این تغییرات را برای قطرهای مختلف نشان می‌دهد. برای حل دبی را تغییر و سایر شرایط حل مشابه مورد پنجم می‌باشد.

جدول (۲): تغییرات دبی ورودی با قطر سوراخ

دبی ورودی به ۱/۴ هر سوراخ $m^{\ddot{}}/sec$	تعداد سوراخ n	فاصله مرکز به مرکز سوراخها s(mm)	قطر سوراخ d(mm)
$3/8 \cdot 10^{-5}$	۴۸۲۲	۴/۸	۳
$6/9 \cdot 10^{-5}$	۲۷۱۲	۶/۴	۴
۰/۰۰۰۱	۱۷۳۶	۸	۵
۰/۰۰۰۱۵	۱۲۰۶	۹/۶	۶
۰/۰۰۰۲	۸۸۶	۱۱/۲	۷
۰/۰۰۰۲۷	۶۷۸	۱۲/۸	۸
۰/۰۰۰۴۳	۴۳۴	۱۶	۱۰

افزایش اولیه در نمودارهای ۲۳ الی ۲۶ به دلیل مقداردهی اولیه می‌باشد، به طور مثال هوایی که در ابتدا در وسط مجراء قرار داشته نصف هوایی که در پایین مجراء قرار داشته، در معرض آجر داغ قرار گرفته است درنتیجه در ابتدای حل تا زمانی که هوای داخل لوله تخلیه شود، رفتار غیرعادی وجود دارد که غیر فیزیکی است، زیرا در واقعیت هوای داخل مجراء در فرآیند شارژ گرم کن تقریباً با آن هم‌دما شده است. ولی از آنجایی که در زمان اجرای توپل، چند ثانیه اول جریان داخل توپل به دلیل باز شدن شیرهای کنترلی و سایر عوامل، به لحاظ سرعت و دمای سیال ناپایا بوده و عملآ آزمودن از ثانیه‌های بعدی که جریان پایا شده، آغاز می‌گردد. از این رو چند ثانیه اول از اهمیت کمتری برخوردار بوده و در این تحلیل نیز کمتر مورد توجه قرار گرفته است.

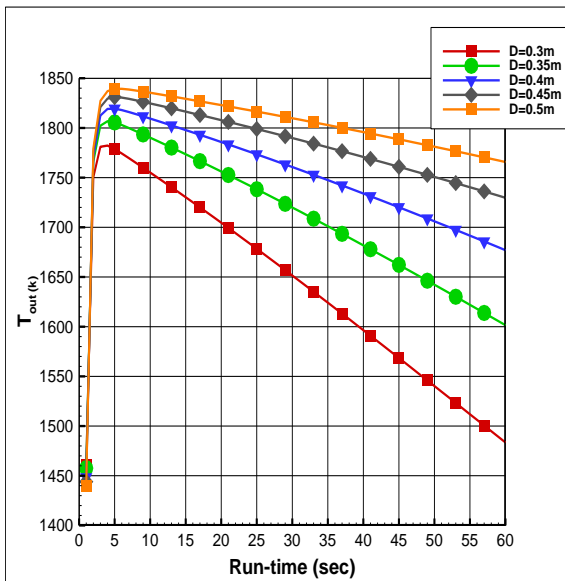
۴-۱- تحلیل پارامتری مسئله

همان‌طور که از نمودارهای پنجم مورد بالا مشاهده شد، این ابعاد هندسه قادر به تأمین دمای هوای خروجی در مدت زمان اجرا نبوده و تنها چندین ثانیه در طی زمان کل اجرا این دما را تأمین می‌کند. از طرفی مورد پنجم مورد بحرانی‌تر محسوب شده و اگر ابعاد طراحی قادر به تأمین دمای هوای خروجی در مدت زمان اجرا منظر برای این مورد باشد، قادر به پاسخگویی برای سایر موارد نیز خواهد بود بنابراین در ادامه به بررسی پارامتری مجھولات روی مورد پنجم پرداخته شد تا تأثیر هر یک بر ابعاد طراحی مشخص شود و سپس طرحی با ابعاد مناسب ارائه گردد.

۴-۱-۱- بررسی اثر طول بستر گرمکن بر گرمایش هوا

برای بررسی اثر طول، سه پارامتر دیگر یعنی قطر سوراخ، قطر بستر و تخلخل را ثابت نگهداشت و با تغییر ارتفاع بستر دمای هوای خروجی را باگذشت زمان بدست می‌آوریم. سایر شرایط مرزی و حل مشابه مورد پنجم بالا می‌باشد. نمودار ۲۷ تأثیر طول بستر را بر دمای هوای خروجی در مدت زمان اجرا نشان می‌دهد. با افزایش طول بستر برای سرعت ورودی یکسان، هوای فرصت گرمایش بیشتری پیدا کرده و با دمای بالاتری از بستر خارج می‌شود. به دلیل وجود گردایان شدید دما بین دمای هوای دیواره، در چند ثانیه ابتدای اجرا دما افزایش صعودی دارد و بعد از آن باگذشت زمان هر دو دمای دیواره و هوای افت می‌کنند.

نمودار ۲۹ تأثیر افزایش یا کاهش قطر بستر را بر دمای هوای خروجی نشان می‌دهد. همان‌طور که مشاهده می‌شود با افزایش قطر بستر تعداد سوراخ و درنتیجه انتقال حرارت افزایش یافته و دمای هوای خروجی با دمای بالاتری را در مدت زمان اجرا بیشتری می‌توان به دست آورد.

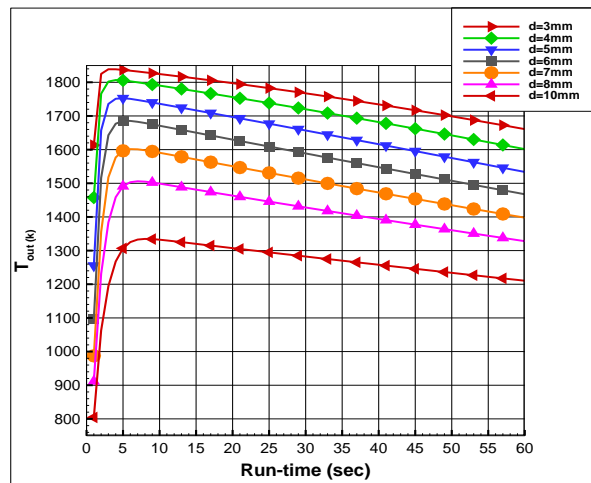


نمودار (۲۹): تأثیر قطر بستر بر دمای هوای خروجی با زمان

۴-۱-۴- تأثیر تخلخل بر انتقال حرارت در بستر گرمکن

برای بررسی تأثیر تخلخل بر دمای هوای خروجی با گذشت زمان، سه پارامتر قطر و ارتفاع بستر و قطر سوراخ را ثابت فرض کرده و هندسه برای نسبت تخلخل‌های مختلف مدل‌سازی، شبکه‌بندی و حل شده است. با توجه به اینکه در این حالت تخلخل و قطر سوراخ تغییر ثابت است بنابراین با تغییر قطر بستر، تعداد سوراخ نیز می‌کند و درنتیجه دبی جرمی و سرعت در هر سوراخ نیز تغییر خواهد کرد. جدول ۳ زیر این تغییرات را برای قطر بسترهای مختلف نشان می‌دهد. برای حل دبی را تغییر داده و سایر شرایط مشابه مورد پنجم بالا می‌باشد.

نمودار ۲۸ تأثیر افزایش و کاهش قطر سوراخ بر دمای هوای خروجی را نشان می‌دهد. با افزایش قطر سوراخ دمای هوای خروجی افت و با کاهش آن انتقال حرارت افزایش می‌یابد.



نمودار (۲۸): تأثیر قطر سوراخ بر دمای هوای خروجی با زمان

۴-۱-۴- بررسی اثر تغییر قطر بستر بر گرمایش هوای

برای بررسی اثر قطر بستر گرمکن سه پارامتر قطر سوراخ، ارتفاع بستر و تخلخل را ثابت نگهداشته و هندسه برای قطرهای بستر مختلف مدل‌سازی، شبکه‌بندی و حل شده و دمای هوای خروجی با گذشت زمان به دست آورده شده است. با توجه به اینکه در این حالت تخلخل و قطر سوراخ ثابت است بنابراین با تغییر قطر بستر، تعداد سوراخ تغییر می‌کند و درنتیجه دبی جرمی و سرعت در هر سوراخ نیز تغییر خواهد کرد. جدول ۳ زیر این تغییرات را برای قطر بسترهای مختلف نشان می‌دهد. برای حل دبی را تغییر داده و سایر شرایط مشابه مورد پنجم بالا می‌باشد.

جدول (۳): تغییرات دبی ورودی با قطر بستر گرمکن

قطر بستر D(m)	فاصله مرکز به مرکز سوراخها s(mm)	تعداد سوراخ n	دبی ورودی به ۱/۴ هر m ^۳ (kg/sec)
۰/۳	۴/۸	۱۹۹۳	۹/۴*۱۰ ^{-۵}
۰/۳۵	۶/۴	۲۷۱۲	۶/۹*۱۰ ^{-۵}
۰/۴	۸	۳۵۴۳	۵/۳*۱۰ ^{-۵}
۰/۴۵	۹/۶	۴۴۸۳	۴/۱۸*۱۰ ^{-۵}
۰/۵	۱۱/۲	۵۵۳۶	۲/۳۸*۱۰ ^{-۵}

افزایش مدت زمان اجرا نیز تأثیر دارد؛ اما بیشترین تأثیر از طریق افزایش قطر بستر یا کاهش قطر سوراخ و تخلخل با افزایش تعداد سوراخ و جبران کاهش سطح انتقال حرارت رخ می‌دهد.

۴-۵-۱-۴- آنالیز حساسیت پارامترها

با توجه به جدول ۵ در نمودارهای ذکر شده در بالا با افزایش یا کاهش ۱۴ درصدی هریک از پارامترهای ارتفاع، قطر بستر و سوراخها و فاصله مرکز به مرکز سوراخها، بیشترین تأثیر بر مدت زمان اجرا به ترتیب اهمیت توسط چهار پارامتر قطر سوراخ، قطر و ارتفاع بستر و فاصله مرکز به مرکز سوراخها اعمال می‌شود و بیشترین تأثیر بر مقدار دمای هوای خروجی به ترتیب اهمیت توسط چهار پارامتر قطر سوراخ و بستر، ارتفاع بستر و فاصله مرکز به مرکز سوراخها اعمال می‌شود.

جدول (۵): آنالیز حساسیت پارامترها

فاصله مرکز به مرکز سوراخها	قطر بستر	قطر سوراخ	ارتفاع بستر	پارامتر
۱۲/۳	۱۴/۲۸	۱۴/۲	۱۴	درصد تغییرات
۴ ثانیه	۱۸	۲۰	ثانية ۸	تغییر مدت زمان اجرا
۸	۵۱/۴۲۸	۶۱/۵۳۸	۲۸/۵۷	درصد تغییر مدت زمان اجرا
۳۰ کلوین	۵۰	۹۰	۳۵ کلوین	تغییر دمای هوای خروجی
۱/۸	۳	۶	۲	درصد تغییر دمای هوای خروجی

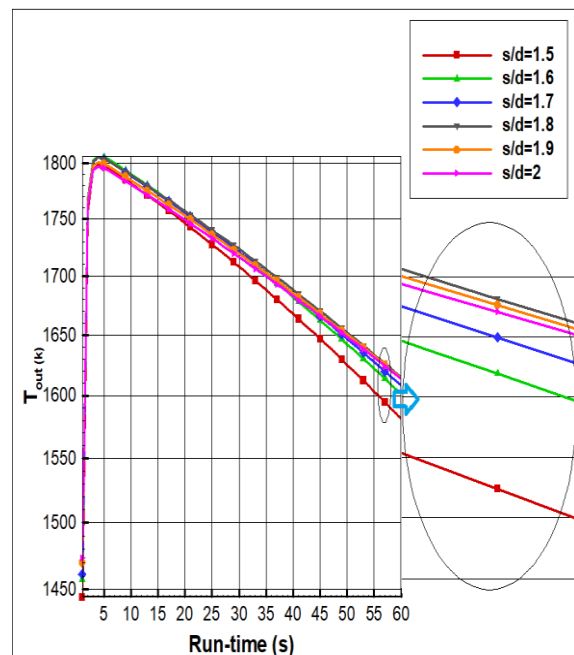
۴-۲- ارائه مدل و طرح پیشنهادی نهایی

برای بهبود و رساندن دمای هوای خروجی از گرمکن به شرایط مطلوب برای مورد پنجم تغییراتی در ابعاد هندسه بستر مطابق جدول ۶ انجام شد. این تغییرات شامل افزایش ارتفاع، قطر و نسبت s/d (کاهش تخلخل) و کاهش قطر سوراخها می‌باشد.

جدول (۴): تغییرات دبی ورودی با تخلخل بستر گرمکن

نسبت فاصله مرکز به مرکز سوراخها به قطر سوراخ s/d	فاصله مرکز به مرکز سوراخها $s(\text{mm})$	تعداد سوراخ n	دبی ورودی به هر سوراخ $m^{\ddagger}(\text{kg/sec})$
۱/۵	۶	۳۰۸۶	6.07×10^{-5}
۱/۶	۶/۴	۲۷۱۲	6.9×10^{-5}
۱/۷	۶/۸	۲۴۰۳	7.8×10^{-5}
۱/۸	۷/۲	۲۱۴۳	8.74×10^{-5}
۱/۹	۷/۶	۱۹۲۴	9.74×10^{-5}
۲	۸	۱۷۳۶	10.8×10^{-4}

نمودار ۳۰ زیر تغییرات دمای هوای خروجی از بستر گرمکن را با گذشت زمان نشان می‌دهد. همان‌طور که مشاهده می‌شود با افزایش نسبت فاصله مرکز به مرکز سوراخ به قطر دمای هوای خروجی بالاتری را می‌توان به دست آورد.



نمودار (۳۰): تأثیر تخلخل بر دمای هوای خروجی با زمان

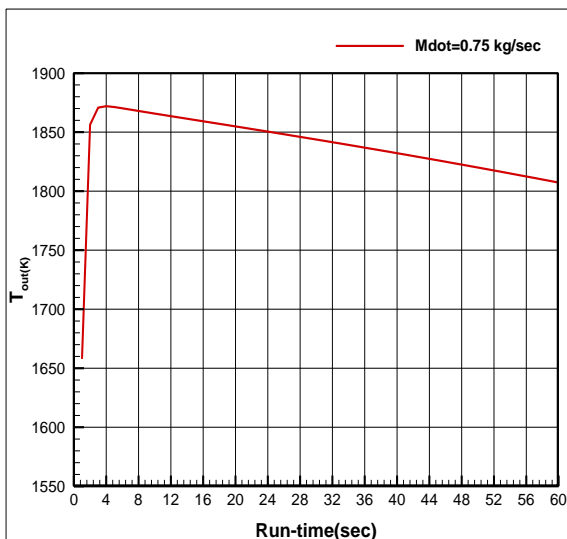
از نمودارهای بالا نتیجه می‌شود که با افزایش ارتفاع بستر می‌توان دمای هوای خروجی بالاتری به دست آورد و برای مداومت این دما می‌توان تعداد سوراخ را به وسیله تغییر در سه پارامتر دیگر افزایش داد. البته افزایش ارتفاع بستر بر

خروجی حاکم است مجبور به افزایش ارتفاع بستر هستیم تا این افت دما در مدت آزمون را جبران کرده و همواره دمای بالای ۱۸۰۰ کلوین را ارائه نمایید.

جدول (۷): تغییرات ابعاد بستر برای مورد پنجم

۱/۷	ارتفاع بستر $L(m)$
۰/۴۵	قطر بستر $D(m)$
۳	قطر سوراخ $d(mm)$
۱/۹	نسبت فاصله مرکز به قطر سوراخ s/d
۰/۲۵۱۲	نسبت تخلخل η
۵۶۵۲	تعداد سوراخ n
$۳/۳۱۷۴ * 10^{-5}$	دبی جرمی عبوری از $1/4$ سوراخ

نتایج حاصل از تحلیل با اعمال تغییرات بالا بر ابعاد بستر طبق نمودار ۳۲ زیر است. طراحی با این ابعاد هندسی توانسته به مدت ۵۷ ثانیه دمای بالای ۱۸۰۰ کلوین را برای هوای خروجی از بستر تأمین نماید.



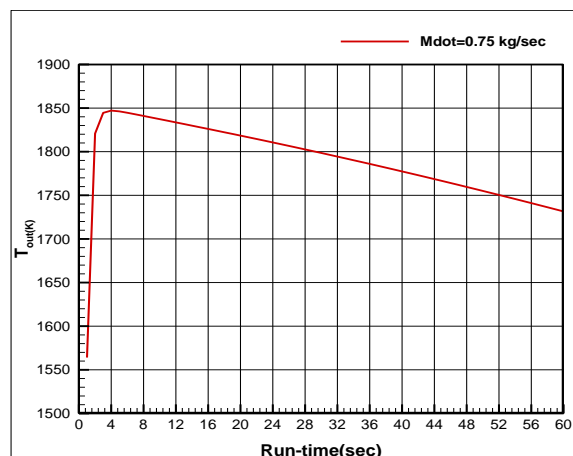
نمودار (۳۲): تغییرات دمای هوای خروجی باگذشت زمان

در نمودارهای (۳۳-۳۶) تغییرات دمای هوای خروجی از بستر برای موارد یک تا چهار باگذشت زمان آورده شده است. همان‌طور که ملاحظه می‌شود ابعاد هندسی طراحی شده نهایی در تمامی موارد توانسته دمای موردنیاز برای شرایط عدم میان هوا را در مدت زمان مدنظر آزمون تأمین نماید.

جدول (۶): تغییرات ابعاد بستر برای مورد پنجم

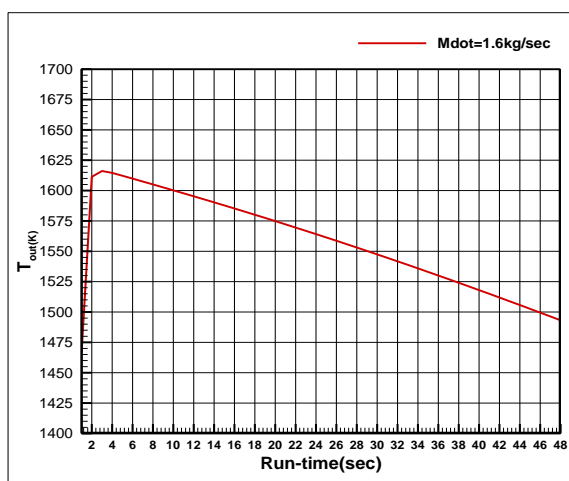
۱/۶	ارتفاع بستر $L(m)$
۰/۴	قطر بستر $D(m)$
۳/۵	قطر سوراخ $d(mm)$
۱/۷	نسبت فاصله مرکز به قطر سوراخ s/d
۰/۳۱۳۸	نسبت تخلخل η
۴۰۹۸	تعداد سوراخ n
$۴/۵۷ * 10^{-5}$	دبی جرمی عبوری از $1/4$ سوراخ

نمودار ۳۱ نتیجه این تغییرات را نشان می‌دهد.

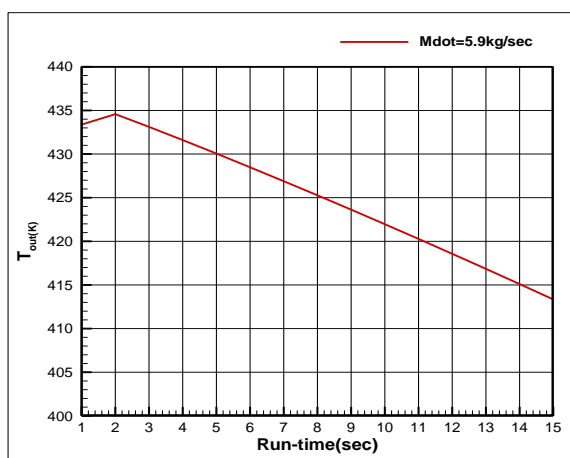


نمودار (۳۱): تغییرات دمای هوای خروجی باگذشت زمان

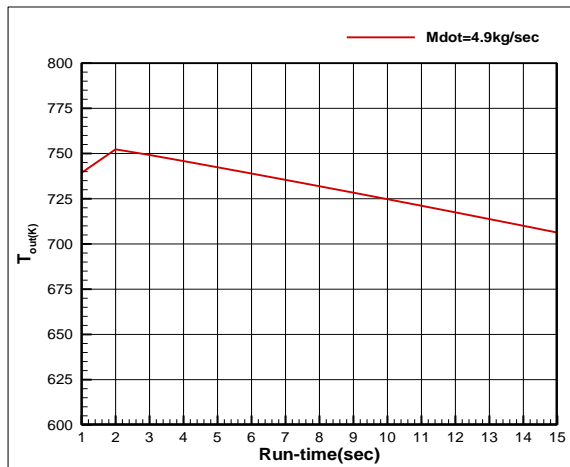
همان‌طور که مشاهده می‌شود این ابعاد هندسی تنها برای ۲۵ ثانیه توانسته دمای هوای خروجی ۱۸۰۰ کلوین را برای مورد پنجم تأمین کند و ممکن است پاسخگوی نیازهای سایر چهار مورد باشد اما به دنبال مورد جامعی هستیم که برای هر پنج مورد جوابگو باشد؛ بنابراین این ابعاد هندسی را مطابق جدول ۷ دوباره تغییر می‌دهیم. علت کاهش تخلخل (افزایش s/d)، افزایش مدت زمان اجرای آزمون با دمای هوای خروجی مدنظر است که منجر به افزایش ضخامت گوشته و افزایش حرارت ذخیره شده در آن می‌شود. از طرفی این تغییر به همراه کاهش قطر سوراخ باعث کاهش تعداد سوراخ و کاهش سطح انتقال حرارت می‌شود که برای جبران آن قطر بستر را افزایش داده و درنتیجه به تعداد سوراخ و سطح انتقال حرارت بین جامد و سیال افزوده می‌شود و با توجه به سیر نزولی که باگذشت زمان آزمون بر دمای هوای



نمودار (۳۶): تغییر دمای هوا خروجی با زمان برای مورد چهارم



نمودار (۳۳): تغییر دمای هوا خروجی با گذر زمان برای مورد اول



نمودار (۳۴): تغییر دمای هوا خروجی با زمان برای مورد دوم



نمودار (۳۵): تغییر دمای هوا خروجی با زمان برای مورد سوم

در این پژوهش طراحی اولیه واحدهای ذخیره‌سازی حرارتی نوع آجر سوراخ دار با جزئیات مورد تجزیه و تحلیل قرار گرفته و پارامترهای طراحی هندسی مانند قطر سوراخ، فاصله سوراخها از همارتفاع و قطر آرایه ذخیره‌سازی حرارتی برای عملکرد انتقال حرارت مورد ارزیابی قرار گرفته‌اند. نتایج ارزیابی نشان می‌دهد که قطر سوراخ و فاصله مرکز به مرکز سوراخها (تخلخل) از مهم‌ترین پارامترهای طراحی بوده که تأثیر قابل توجهی بر پارامترهای دیگر و عملکرد عملیاتی دارد. انتخاب ارتفاع بستر به طور مستقیم بر میزان دمای هوا جریان خروجی و زمان تخلیه تأثیر داشته و یک پارامتر کلیدی در طراحی برای ثبیت دمای هوا خروجی و مدت زمان آزمون است. قطر بستر نیز به عنوان یک پارامتر طراحی بر تعداد سوراخها و افزایش سطح انتقال حرارت مؤثر می‌باشد. همچنین هر یک از پارامترهای قطر سوراخ و فاصله مرکز به مرکز سوراخها (تخلخل) با افزایش و کاهش ضخامت گوشته بر میزان ظرفیت ذخیره و آزادسازی حرارت تأثیر داشته و باعث افزایش یا کاهش مدت زمان اجرا آزمون با دمای مطلوب می‌شود. طرح نهایی با ابعاد ارتفاع بستر ۱/۷ متر، قطر بستر ۰/۴۵ متر، تخلخل ۰/۲۵۱۲ و قطر سوراخ‌های ۳ میلی‌متر برای تمامی شرایط دبی ورودی بیشتر از ۰/۷۵ کیلوگرم بر ثانیه و فشار کل کمتر از ۹۰ بار قادر به تأمین دمای موردنیاز برای عدم میان هوا می‌باشد. از روش طراحی ارائه شده در این پژوهش می‌توان در طراحی

11. Hagford, D. and DeCoursin, D.J.F.E.C. "February, Research on Storage Heaters for High Temperature Wind Tunnels-Final Report", 1972: p. 40600-70.
12. Geutjes, A. "A Numerical Model to Evaluate the Behaviour of a Regenerative Heat Exchanger at high temperature", 1976: Technische Hogeschool, Afdeling der Elektrotechniek, Vakgroep Direkte.
13. Ameel, T.A., "Thermal Simulation of an Experimental High Temperature Fixed Bed Cored Brick Regenerative Air Preheater", 1977, Citeseer.
14. Herrick, G.C., "Analysis of Thermal Response of an Experimental Air Preheater", 1978, Citeseer.
15. Upshaw, G.A. "A Simulation Approach to the Thermal-Hydraulic Design of Cored Ceramic Brick Regenerative Heat Exchangers", 1977, Montana State University-Bozeman, College of Engineering.
16. Harris, R.C., "Thermal Stress in a Ceramic Brick Air Preheater", 1978, Montana State University-Bozeman, College of Engineering.
17. Ameel, T. and Townes, H. "Computer Simulation of Cored Brick Regenerative Heat Exchangers", in Summer Computer Simulation Conference. 1980.
18. Powell, S. "Mach 7 True-Temperature Test Facility Technology", in 24th AIAA Aerodynamic Measurement Technology and Ground Testing Conference. 2004.
19. Chu, P., C. Marksberry, and D. Saari. "High Temperature Storage Heater Technology for Hypersonic wind Tunnels and Propulsion Test Facilities", in AIAA/CIRA 13th International Space Planes and Hypersonics Systems and Technologies Conference. 2005.
20. Saari, D., P. Chu, and C. Jauch. "Clean air Regenerative Storage Heater Technology for Propulsion Test Facilities", in 16th AIAA/DLR/DGLR International Space Planes and Hypersonic Systems and Technologies Conference. 2009.
21. Fetterhoff, T. and W. Burfitt. "Overview of the Advanced Propulsion Test Technology Hypersonic Aero Propulsion Clean Air Testbed (HAPCAT)", in 17th AIAA International Space Planes and Hypersonic Systems and Technologies Conference.
22. (DRDL) India, D.R.a.D.L., "Design, Fabrication, Installation of Wind Tunnel System and Commissioning of Hypersonic Wind Tunnel

بستر سرامیکی هسته آجری گرمکن دما بالا برای شرایط ورودی مختلف به بستر استفاده کرد.

۶- تشکر و قدردانی

با تشکر از مجموعه اساتید و پژوهشگرانی که ما را در انجام این پژوهش راهنمایی نمودند.

۷- مراجع

1. Pope, A. and K.L. Goin, "High-speed Wind Tunnel Testing", 1965: Wiley.
2. Hedrick, W. "Storage Heater Design Study For The Hypersonic True Temperature Tunnel", 1964, Fluidyne Engineering Corp Minneapolis Mn Dba/Phoenix Solutions Co.
3. Ashtiani, AM. "Conceptual Design of Heating Reservoir Tongue Basin, Above the Sound Tunnel", in the Faculty of Engineering, Fluid Mechanics. 2009, Imam Hossein University (AS): Tehran.
4. Shakeri, A. "Development of Technical Knowledge of Design and Construction of Gas Fluid Heater in Wind Tunnel", in Faculty of Engineering and Power Engineering. 2016, Zanjan University: Zanjan.
5. Sadrameli, S. and Ajdari, H.J.A.T.E. "Mathematical Modelling and simulation of thermal regenerators including solid radial conduction effects", Vol. 76, p.p. 441-448, 2015.
6. Smith, K.W. and Decoursin, D.G. "Development of a High Temperature Heater Using An Yttria Stabilized Zirconia Cored Brick Matrix", 1971.
7. Lezberg, E.A. "Drilled-core Storage Heater for a Hypersonic Tunnel", 1971.
8. Fehrenbacher, L., "Optimum Properties of Zirconia Ceramics for High Performance Storage Heaters, in Ceramics in severe environments", Springer. p.p. 105-122, 1971.
9. TINSLEY, C., "Research and Development Testing of Yttria/Rare Earth Stabilized Zirconia Matrix Bricks in the Pilot Test Unit(PTU) at AEDC(Development of Ceramic Materials for Construction of Full Scale, High Pressure, Hypersonic Facility For Testing Aircraft and Missile Models)", 1972.
10. Weiler, F., Derbridge, T., and Powars, C. "Analysis of Thermal Stresses in Cored Ceramic Bricks Used in Hypersonic Wind Tunnel Heaters", 1972, Acurex Corp/Aerothem Mountain View Ca.

26. Samineni, N.B., et al., "A Mathematical Framework for Design and Optimization of Regenerative Storage Heater", 2018. 135: p. 521-529.
27. Babu, S.N., et al., "Selection of High Temperature Heat Storage Materials for Cored Brick Heaters of Hypersonic Wind Tunnel and Scramjet Facilities", Vol. 5, no. 2, p.p. 7924-7929, 2018.
28. "Resources, Tools and Basic Information for Engineering and Design of Technical Applications", https://www.engineeringtoolbox.com/air-properties-d_156.html.
29. "Facility", May,2013. p. 159 (including title page).
30. Gokul, M., A.J.I.J.o.R.i.E. "Krishnan, and Technology, Comparative studies on heat transfer and fluid flow in cored brick and pebble bed heaters", Vol. 4, no. 01, 2015.
31. Sainath, K., Kumar, B.N. and Vineeth, A. "Analysis of Honey Comb Based Insulation for Cored Brick Heater", Sreyas International Journal of Scientists and Technocrats. Vol. 1, no. 3, pp. 9-19, 2017.
32. Ramakrishnan, P. and Krishnan, A.J.A.R.M.E. "Heat transfer Enhancement in a 4-holed Cored Brick Regenerator by Inducing Turbulence", Vol. 6, p.p. 18-23, 2017.